

5141

МИНИСТЕРСТВО ОБРАЗОВАНИЯ И НАУКИ РОССИЙСКОЙ ФЕДЕРАЦИИ
РЯДАНСКИЙ ГОСУДАРСТВЕННЫЙ РАДИОТЕХНИЧЕСКИЙ УНИВЕРСИТЕТ

**ЭЛЕКТРОДИНАМИКА
И РАСПРОСТРАНЕНИЕ
РАДИОВОЛН**

Сборник задач

Рязань 2017

УДК 621.396

Электродинамика и распространение радиоволн: сборник задач/
Рязань, гос. радиотехн. ун-т, сост.: А.И. Бакулин, Б.В. Каганенко,
Г.Г. Юматова. Рязань, 2017. 68 с.

Приведены теоретические сведения и набор задач по основным
разделам соответствующей программы.

Предназначен для студентов второго курса и бакалавров направ-
ленных на радиотехнику и информационные технологии и сис-
темы связи факультета радиотехники и телекоммуникаций.

Ил. 88. Библиогр.: 3 изв.

Электромагнитное поле, вектор Пойнтинга, поглощенные волны

Печатается по решению редакционно-издательского совета Ра-
зянского государственного радиотехнического университета.

Редактор: кандидата радиотехники и связи Рязанского государ-
ственного радиотехнического университета (зав. кафедрой)
С.Н.Кирilloв

$\vec{x}_0, \vec{y}_0, \vec{z}_0$ – единичные векторы в декартовых координатах;

r, φ, z – цилиндрические координаты;

$\vec{r}_0, \vec{\varphi}_0, \vec{z}_0$ – единичные векторы в цилиндрических координатах;

r, θ, φ – сферические координаты;

$\vec{r}_0, \vec{\theta}_0, \vec{\varphi}_0$ – единичные векторы в сферических координатах.

ПРИНЯТЫЕ ОБОЗНАЧЕНИЯ

Обозначение координат и единичных векторов

x, y, z – прямоугольные (декартовы) координаты;

$\vec{x}_0, \vec{y}_0, \vec{z}_0$ – единичные векторы в декартовых координатах;

r, φ, z – цилиндрические координаты;

$\vec{r}_0, \vec{\varphi}_0, \vec{z}_0$ – единичные векторы в цилиндрических координатах;

r, θ, φ – сферические координаты;

$\vec{r}_0, \vec{\theta}_0, \vec{\varphi}_0$ – единичные векторы в сферических координатах.

Системы координат (рис. 1)

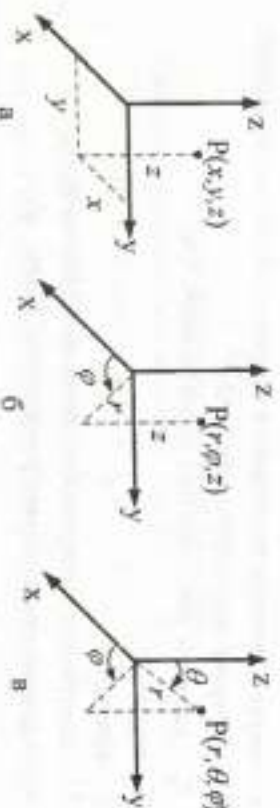


Рис. 1. Системы координат: а – декартова, б – цилиндрическая, в – сферическая

Обозначения величин

\vec{A} – векторный потенциал поля;

B – магнитная индукция, Тл;

C – электрическая емкость, Ф;

c – скорость света ($3 \cdot 10^8$ м/с);

D – электрическое смещение, Кл/м²;

E – напряженность электрического поля, В/м;

\vec{E} – электрическое смещение, В;

f – частота, Гц;

H – напряженность магнитного поля, А/м;

I – сила тока, А;

Электродинамика и распространение радиоволн: сборник задач/
Рязань, гос. радиотехн. ун-т, сост.: А.И. Бакулин, Б.В. Каганенко,
Г.Г. Юматова. Рязань, 2017. 68 с.

Подписано в печать 28.09.17. Формат бумаги 60x84 1/16.
Бумага писчая. Печать граверистика. Усл. печ. л. 4,25.

Тираж 150 экз. Заказ 3578.

Рязанский государственный радиотехнический университет,
390005, Рязань, ул. Гагарина, 591.

Редакционно-издательский центр РГРТУ.

Ил. 88. Библиогр.: 3 изв.

- δ – объемная плотность тока, $\text{А}/\text{м}^2$;
 $\tilde{\delta}_s$ – поверхностная плотность тока, $\text{А}/\text{м}$;
 \tilde{i} – линейный ток, А ;
 L – индуктивность, Гн ;
 M – взаимная индуктивность, Гн ;
 P – мощность, Вт ;
 Q – добробытость;
 ρ – объемная плотность заряда, $\text{Кл}/\text{м}^3$;
 ρ_s – поверхностная плотность заряда, $\text{Кл}/\text{м}^2$;
 σ – линейная плотность зарядов, $\text{Кл}/\text{м}$;
 \vec{r} – радиус-вектор;
 r – текущее значение расстояния в сферической системе координат.
 R – электрическое сопротивление, Ом ;
 R_s – удельное сопротивление, Ом ;
 T – период, с ;
 U – электрическое напряжение, разность потенциалов, В ;
 v_ϕ – фазовая скорость электромагнитной волны, $\text{м}/\text{с}$;
 $v_{\text{ср}}$ – групповая скорость электромагнитной волны, $\text{м}/\text{с}$;
 W – энергия, Дж ;
 Z_g – волновое сопротивление, Ом ;
 Z_c – характеристическое сопротивление, Ом ;
 α – коэффициент затухания, $1/\text{м}$;
 β – коэффициент фазы, $1/\text{м}$;
 σ – удельная проводимость, $\text{См}/\text{м}$;
 ϵ – диэлектрическая проницаемость (относительная);
 ϵ_0 – диэлектрическая постоянная ($1/120 \pi c$) \approx
 $\approx 8,854 \cdot 10^{-12} \approx \frac{10^{-9}}{36\pi} \text{ Ф/м}$;
 δ_a – абсолютная диэлектрическая проницаемость, Ф/м ;
 λ – длина волны, м ;
 λ_b – длина волны в волноводе, м .

μ – магнитная проницаемость (относительная);

μ_0 – магнитная постоянная ($1/20 \pi c$), $\text{Гн}\text{м} = 1,2566 \cdot 10^{-6} \text{ Гу}\text{м}$;

μ_a – абсолютная магнитная проницаемость, $\text{Гн}\text{м}$;

k – коэффициент распространения волны, $1/\text{м}$;

\bar{P} – вектор Пойнтинга, $\text{Вт}/\text{м}^2$;

Φ – магнитный поток, Вб ;

φ – потенциал (стационарный), В ;

ψ – магнитное потокосцепление, Вб ;

ω – круговая частота, $\text{рад}/\text{с}$;

R – коэффициент отражения;

T – коэффициент прохождения (преломления).

1. ВЕКТОРЫ

Некоторые формулы векторной алгебры

Скалярное произведение векторов \vec{A} и \vec{B} :

$$\vec{A} \cdot \vec{B} = AB \cos \alpha = A_x B_x + A_y B_y + A_z B_z,$$

где α – угол между направлениями \vec{A} и \vec{B} .

Векторное произведение векторов \vec{A} и \vec{B} в декартовой системе координат:

$$\begin{aligned} [\vec{A} \vec{B}] &= \vec{A} \times \vec{B} = \vec{n}_0 A B \sin \alpha = \\ &= \vec{x}_0 (A_y B_z - A_z B_y) + \vec{y}_0 (A_z B_x - A_x B_z) + \vec{z}_0 (A_x B_y - A_y B_x), \end{aligned}$$

где \vec{n}_0 – единичный вектор нормали к плоскости векторов \vec{A} и \vec{B} , прачем \vec{A} , \vec{B} и \vec{n}_0 образуют правую тройку векторов.

В краткой записи

$$[\vec{A} \vec{B}] = \begin{vmatrix} \vec{x}_0 & \vec{y}_0 & \vec{z}_0 \\ A_x & A_y & A_z \\ B_x & B_y & B_z \end{vmatrix}.$$

Векторное произведение некоммутативно $[\vec{B} \vec{A}] = -[\vec{A} \vec{B}]$.

Векторно-склярное (мешающее) произведение $\vec{A} \cdot \vec{B}$ и \vec{C} :

$$\bar{A}[\bar{B}\bar{C}] = [\bar{A}\bar{B}]\bar{C} = [\bar{C}\bar{A}]\bar{B} = \begin{vmatrix} A_x & A_y & A_z \\ B_x & B_y & B_z \\ C_x & C_y & C_z \end{vmatrix}$$

Линейное векторное произведение векторов \bar{A} , \bar{B} и \bar{C} :

$$[\bar{A}|\bar{B}\bar{C}] = \bar{B}(\bar{A}\bar{C}) - \bar{C}(\bar{A}\bar{B})$$

Операции векторного анализа

Для математического описания физического состояния точек пространства вводят понятия скалярных и векторных полей.

Одной из характеристик скалярного поля φ является градиент ($grad\varphi$) – вектор, показывающий величину и направление наибольшего изменения в данной точке.

Направление градиента всегда перпендикулярно к эквипотенциальной поверхности (поверхности равного уровня) и параллельно касательной к силовой линии поля в данной точке.

В декартовой системе координат (д.с.к.) (рис. 1, а)

$$grad\varphi = \frac{\partial \varphi}{\partial x} \hat{x}_0 + \frac{\partial \varphi}{\partial y} \hat{y}_0 + \frac{\partial \varphi}{\partial z} \hat{z}_0.$$

В цилиндрической системе координат (ц.с.к.) (рис. 1, б)

$$grad\varphi = \frac{\partial \varphi}{\partial r} \hat{r}_0 + \frac{1}{r} \frac{\partial \varphi}{\partial \theta} \hat{\theta}_0 + \frac{\partial \varphi}{\partial z} \hat{z}_0.$$

В сферической системе координат (с.с.к.) (рис. 1, в)

$$grad\varphi = \frac{\partial \varphi}{\partial r} \hat{r}_0 + \frac{1}{r} \frac{\partial \varphi}{\partial \theta} \hat{\theta}_0 + \frac{1}{r \sin \theta} \frac{\partial \varphi}{\partial \varphi} \hat{\varphi}_0.$$

(Здесь φ_0 в числителе обозначает потенциал, а φ_0 в знаменателе – угловую координату в д.с.к. и с.с.к.)

Дифференциальными характеристиками векторного поля \bar{A} являются скалярная величина – дивергенция ($div\bar{A}$) и векторная величина – ротор ($rot\bar{A}$).

Значение дивергенции равно плотности источников рассматриваемого поля в заданной точке пространства.

Дивергенцию векторного поля \bar{A} выражают путем дифференцирования его проекций по соответствующим координатам.

В декартовой системе координат

$$div\bar{A} = \frac{\partial A_x}{\partial x} + \frac{\partial A_y}{\partial y} + \frac{\partial A_z}{\partial z},$$

в цилиндрической системе координат

$$div\bar{A} = \frac{1}{r^2} \left[\frac{\partial}{\partial r} (r^2 A_r) \right] + \frac{1}{r \sin \theta} \frac{\partial A_\theta}{\partial \theta} + \frac{1}{r \sin \theta} \left[\frac{\partial}{\partial \theta} (A_\theta \sin \theta) \right].$$

Еще одной характеристикой векторного поля является ротор. В декартовой системе координат

$$rot\bar{A} = \begin{vmatrix} \hat{x}_0 & \hat{y}_0 & \hat{z}_0 \\ \frac{\partial}{\partial x} & \frac{\partial}{\partial y} & \frac{\partial}{\partial z} \\ A_x & A_y & A_z \end{vmatrix} =$$

$$= \hat{x}_0 \left(\frac{\partial A_z}{\partial y} - \frac{\partial A_y}{\partial z} \right) + \hat{y}_0 \left(\frac{\partial A_x}{\partial z} - \frac{\partial A_z}{\partial x} \right) + \hat{z}_0 \left(\frac{\partial A_y}{\partial x} - \frac{\partial A_x}{\partial y} \right).$$

В цилиндрической системе координат

$$rot\bar{A} = \left(\frac{1}{r} \frac{\partial A_z}{\partial \theta} - \frac{\partial A_\theta}{\partial z} \right) \hat{r}_0 + \left(\frac{\partial A_x}{\partial z} - \frac{\partial A_z}{\partial x} \right) \hat{\theta}_0 + \frac{1}{r} \left[\frac{\partial (r A_\theta)}{\partial r} - \frac{\partial A_r}{\partial \theta} \right] \hat{z}_0.$$

В сферической системе координат

$$rot\bar{A} = \frac{1}{r \sin \theta} \left[\frac{\partial (A_\theta \sin \theta)}{\partial \theta} - \frac{\partial A_\theta}{\partial r} \right] \hat{r}_0 + \frac{1}{r} \left[\frac{1}{\sin \theta} \frac{\partial A_r}{\partial \theta} - \frac{\partial (r A_\theta)}{\partial r} \right] \hat{\theta}_0 + \frac{1}{r} \left[\frac{\partial (r A_\theta)}{\partial r} - \frac{\partial A_r}{\partial \theta} \right] \hat{\varphi}_0.$$

Дивергенция произведения скалера и вектора

$$div(\varphi \bar{A}) = \varphi div\bar{A} - \bar{A} grad\varphi.$$

Дивергенция векторного произведения

$$div[\bar{A}\bar{B}] = \bar{B} rot\bar{A} - \bar{A} rot\bar{B}.$$

Если $\operatorname{rot} \vec{A} = 0$, то поле является потенциальным. Векторное поле \vec{A} , удовлетворяющее во всех точках рассматриваемой области условию $\operatorname{div} \vec{A} = 0$, называется соленоидальным.

Соответствующими интегральными характеристиками векторного поля являются поток вектора через замкнутую поверхность и циркуляция вектора по контуру.

Потоком вектора \vec{A} сквозь замкнутую поверхность S называется интеграл вида $I = \int_S \vec{A} \cdot d\vec{s}$.

Циркуляцией вектора \vec{A} по замкнутому контуру L называется от физического смысла вектора \vec{A} называется интеграл вида $I_L = \int_L \vec{A} \cdot d\vec{l}$.

Поток и циркуляция – величины скалярные. В частном случае, когда вектор \vec{A} имеет смысл вектора силы, указанный интеграл выражает работу силы по контуру L .

Дифференциальные операции со скалярными и векторными полями удобно записывать с помощью оператора Гамильтона ∇ . Применительно к скалярному полю $\nabla \varphi = \operatorname{grad} \varphi$, относительно векторного поля $\nabla \vec{A} = \operatorname{div} \vec{A}$, $[\nabla \vec{A}] = \operatorname{rot} \vec{A}$. Ротор градиента $[\nabla(\nabla \varphi)] = 0$. Для перехода ротора $\nabla[\nabla \vec{A}] = 0$.

Из дифференциальных операций второго порядка в электродинамике часто используется оператор Лапласа Δ . Для скалярного поля $\Delta \varphi = \nabla^2 \varphi = \operatorname{div} \operatorname{grad} \varphi$, для векторного поля $\nabla^2 \vec{A} = \operatorname{grad} \operatorname{div} \vec{A} - \operatorname{rot} \operatorname{rot} \vec{A}$.

Оператор Лапласа в различных координатных системах записывается следующим образом:
В лекартовой системе:

$$\nabla^2 \varphi = \frac{\partial^2 \varphi}{\partial x^2} + \frac{\partial^2 \varphi}{\partial y^2} + \frac{\partial^2 \varphi}{\partial z^2};$$

в цилиндрической системе координат:

$$\nabla^2 \varphi = \frac{1}{r} \frac{\partial}{\partial r} \left(r^2 \frac{\partial \varphi}{\partial r} \right) + \frac{1}{r^2 \sin \theta} \frac{\partial}{\partial \theta} \left(\sin \theta \frac{\partial \varphi}{\partial \theta} \right) + \frac{1}{r^2 \sin^2 \theta} \frac{\partial^2 \varphi}{\partial \varphi^2};$$

в сферической системе координат:

$$\nabla^2 \varphi = \frac{1}{r^2} \frac{\partial}{\partial r} \left(r^2 \frac{\partial \varphi}{\partial r} \right) + \frac{1}{r^2 \sin \theta} \frac{\partial}{\partial \theta} \left(\sin \theta \frac{\partial \varphi}{\partial \theta} \right) + \frac{1}{r^2 \sin^2 \theta} \frac{\partial^2 \varphi}{\partial \varphi^2}.$$

Графически векторные поля изображают с помощью силовых линий. В каждой точке силовой линии соответствует интенсивность поля. Дифференциальное уравнение силовых линий в лекартовой системе координат имеет вид:

$$\frac{dx}{A_x} = \frac{dy}{A_y} = \frac{dz}{A_z}.$$

Для решения задач векторного анализа часто бывает удобно пользоваться формулой Грина $\int_L \vec{A} \cdot d\vec{l} = \int_S \left(\frac{\partial A_y}{\partial x} - \frac{\partial A_x}{\partial y} \right) dx dy$,

$$\text{теоремой Стокса } \int_L \vec{A} \cdot d\vec{l} = \int_S \operatorname{rot} \vec{A} \cdot d\vec{s},$$

$$\text{теоремой Остроградского – Гаусса } \int_S \vec{A} \cdot d\vec{s} = \int_V \operatorname{div} \vec{A} dv.$$

1.1. Изобразить на координатной плоскости XOY вектор $\vec{A} = 2\vec{x}_0 - 6\vec{y}_0$.

- 1.2. Показать, что векторы $\vec{A} = 4\vec{x}_0 - 2\vec{y}_0 - \vec{z}_0$ и $\vec{B} = \vec{x}_0 + 4\vec{y}_0 - 4\vec{z}_0$ ортогональны. Найти их сумму и разность.

- 1.3. Найти сумму и разность двух векторов \vec{A} и \vec{B} . Показать, что эти векторы ортогональны. $\vec{A} = 4\vec{x}_0 + 2\vec{y}_0 - 2\vec{z}_0$; $\vec{B} = 2\vec{x}_0 - 5\vec{y}_0 - \vec{z}_0$.

- 1.4. Заданы векторы $\vec{A} = 2\vec{x}_0 + 4\vec{y}_0$; $\vec{B} = 6\vec{y}_0 - 4\vec{z}_0$. Найти наименьший угол между ними.

- Указание: 1) через векторное произведение;
2) через скалярное произведение.
- 1.5. Найти скалярное, векторное произведения и угол между

векторами \tilde{A} и \tilde{B} : $\tilde{A} = 2\tilde{x}_0 - 3\tilde{y}_0$; $\tilde{B} = -2\tilde{x}_0 - 3\tilde{y}_0$.

1.6. Найти уравнение линии уровня, проходящей через точку $M(2; -1)$ для скалярного поля $f(x, y) = 4x^2 - y^2$.

1.7. Найти уравнение спиральной линии вектора $\tilde{A} = \frac{y}{a}\tilde{x}_0 + \frac{x}{a}\tilde{y}_0$.

1.8. Найти уравнение спиральной линии вектора $\tilde{A} = -\frac{y}{a}\tilde{x}_0 + \frac{x}{a}\tilde{y}_0$.

Градиент потенциала

1.9. Найти градиент потенциала $\varphi = \sqrt{x^2 + y^2 + z^2}$.

1.10. Задано потенциал $\varphi = \frac{1}{\sqrt{x^2 + y^2 + z^2}}$. Найти градиент этого потенциала. Определить форму эпипотенциальных поверхностей.

1.11. Задано скалярное поле $\varphi = 3x^2 y \cos z - 2z^2$. Найти $\operatorname{grad} \varphi$.

1.12. Задано скалярное поле $\varphi = 7x^3 y^2 \sin z - 3z^2$. Найти $\operatorname{grad} \varphi$ в точке

1.13. Задан потенциал $\varphi = x^y - z^2$. Найти $\operatorname{grad} \varphi$ в точке $M(2, 7; 2; 2)$.

1.14. Найти градиент скалярного произведения векторов $\tilde{A} = 3\tilde{x}_0 + 4\tilde{y}_0 - 5\tilde{z}_0$ и $\tilde{r} = x \cdot \tilde{x}_0 + y \cdot \tilde{y}_0 + z \cdot \tilde{z}_0$.

1.15. Найти наибольшую скорость изменения поля, заданного функцией $\varphi = x^2 + 4y^2 + 9z^2 - 1$, в точке $M(1; -1; 0,5)$.

1.16. Найти наибольшую скорость изменения поля, заданного функцией $\varphi = x^3 - 4x^2 y + 5z^2 + 3$, в точке $M(-1; 0,5; -1)$.

1.17. Найти наибольшую скорость изменения поля, заданного функцией $\varphi = x \cdot y^3 \cdot z^4$, в точке $M(1; 1; 1)$.

Дивергенция вектора

1.18. Задано поле вектора $\tilde{A} = x^2 \tilde{x}_0 + y \cdot z \cdot \tilde{y}_0 + x \cdot y \cdot \tilde{z}_0$. Найти $\operatorname{div} \tilde{A}$.

1.19. Задано поле вектора $\tilde{A} = x^2 \tilde{x}_0 + (x+y)^2 \tilde{y}_0 + 24x^2 y^2 z^2 \tilde{z}_0$. Найти $\operatorname{div} \tilde{A}$ в точке $(2; 1; 1)$.

1.20. В области значений $0 \leq r \leq 2$ цилиндрической системы координат вектор $\tilde{A} = (4r^{-1} + 2e^{-0,5r} + 4r^{-1} e^{-1,5r})\tilde{x}_0$, а при $r > 2$ $\tilde{A} = \left(\frac{2,057}{r}\right)\tilde{r}_0$. Найти $\operatorname{div} \tilde{A}$ в этих областях.

1.21. Задано поле вектора $\tilde{A} = 5r^2 \left(\sin \frac{\pi x}{2}\right)\tilde{x}_0$. Найти $\operatorname{div} \tilde{A}$ в точке $x = 1$.

1.22. В цилиндрической системе координат задано поле вектора $\tilde{A} = r \sin \varphi \cdot \tilde{r}_0 + r^2 \cos \varphi \cdot \tilde{\varphi}_0 + 2r \cdot e^{-5z}\tilde{z}_0$. Найти дивергенцию вектора \tilde{A} в точке $\left(\frac{1}{2}, \frac{\pi}{2}; 0\right)$.

1.23. В сферической системе координат задано поле вектора $\tilde{A} = \frac{5}{r^2} \sin \theta \cdot \tilde{\theta}_0 + r \cdot \operatorname{ctg} \theta \cdot \tilde{\varphi}_0 + r \sin \theta \cos \varphi \cdot \tilde{\varphi}_0$. Найти $\operatorname{div} \tilde{A}$.

1.24. Задано поле вектора $\tilde{A} = e^{-y} (\cos x \cdot \tilde{x}_0 - \sin x \cdot \tilde{y}_0)$. Найти $\operatorname{div} \tilde{A}$.

1.25. Задано поле вектора $\tilde{A} = (x^2 + y^2)^{1/2} \tilde{x}_0$. Найти $\operatorname{div} \tilde{A}$ в точке $(2; 2; 0)$.

1.26. В цилиндрической системе координат задано векторное поле $\tilde{A} = r \sin \varphi \cdot \tilde{r}_0 + 2r \cos \varphi \cdot \tilde{\varphi}_0 + 2z^2 \tilde{z}_0$. Найти $\operatorname{div} \tilde{A}$.

1.27. В цилиндрической системе координат задано поле вектора $\tilde{A} = 10 \sin^2 \varphi \cdot \tilde{r}_0 + r \cdot \tilde{\varphi}_0 + \frac{z^2 \cos^2 \varphi}{r} \tilde{z}_0$. Найти $\operatorname{div} \tilde{A}$ в точке $(2; \varphi; 5)$.

1.28. Задано векторное поле

$$\tilde{A} = \frac{5}{r^2} \tilde{r}_0 + \frac{10}{\sin \theta} \tilde{\theta}_0 - r^2 \varphi \cdot \sin \theta \cdot \tilde{\varphi}_0$$

1.29. Задано векторное поле $\tilde{A} = 5 \sin \theta \cdot \tilde{r}_0 + 5 \sin \varphi \cdot \tilde{\varphi}_0$. Найти $\operatorname{div} \tilde{A}$.

$\operatorname{div} \vec{A}$ в точке $\left(0,5, \frac{\pi}{4}, \frac{\pi}{4}\right)$.

1.30. Задано поле вектора $\vec{A} = e^{5x} \vec{x}_0 + 2 \cos y \cdot \vec{y}_0 + 2 \sin z \cdot \vec{z}_0$. Найти $\operatorname{div} \vec{A}$ в точке $(0; 0; 0)$.

1.31. Задано поле вектора $\vec{A} = \left\langle 3x + y^2 \right\rangle \vec{x}_0 + \left\langle x - y^2 \right\rangle \vec{y}_0$. Найти $\operatorname{div} \vec{A}$.

1.32. Задано поле вектора $\vec{A} = 2x \cdot y \cdot \vec{x}_0 + z \cdot \vec{y}_0 + y \cdot z^2 \vec{z}_0$. Найти $\operatorname{div} \vec{A}$ в точке $(2; -1; 3)$.

1.33. Задано поле вектора $\vec{A} = 4x \cdot y \cdot \vec{x}_0 - x \cdot y^2 \vec{y}_0 + 5 \sin z \cdot \vec{z}_0$. Найти $\operatorname{div} \vec{A}$ в точке $(2; 2; 0)$.

1.34. В цилиндрической системе координат задано поле вектора $\vec{A} = 2r \cos^2 \varphi \cdot \vec{r}_0 + 3r^2 \sin z \cdot \vec{\varphi}_0 + 4z \sin^2 \varphi \cdot \vec{z}_0$. Найти $\operatorname{div} \vec{A}$.

1.35. В цилиндрической системе координат задано поле вектора $\vec{A} = \left\langle 0/r^2 \right\rangle \vec{r}_0 + 5e^{-2z} \vec{z}_0$. Найти $\operatorname{div} \vec{A}$ в точке $(2; \varphi; 1)$.

1.36. Задано поле вектора $\vec{A} = 10 \vec{r}_0 + 5 \sin \theta \cdot \vec{\theta}_0$. Найти $\operatorname{div} \vec{A}$.

1.37. Задано поле вектора $\vec{A} = r \cdot \vec{r}_0 - r^2 \cos \theta \cdot \vec{\theta}_0$. Найти $\operatorname{div} \vec{A}$.

1.38. Задано поле вектора $\vec{A} = \left\langle \frac{10 \sin^2 \theta}{r} \right\rangle \vec{r}_0$. Найти $\operatorname{div} \vec{A}$ в точке $\left(2; \frac{\pi}{4}, \frac{\pi}{2}\right)$.

1.39. Задано поле вектора $\vec{A} = r^2 \sin \theta \cdot \vec{r}_0 + 13\varphi \cdot \vec{\theta}_0 + 2r \cdot \vec{\varphi}_0$. Найти $\operatorname{div} \vec{A}$.

1.40. В области $r \leq 2$ цилиндрической системы координат вектор

$\vec{A} = \left\langle 10r + \frac{r^2}{3} \right\rangle \vec{r}_0$, а при $r > 2$ $\vec{A} = \left\langle \frac{3}{128r} \right\rangle \vec{r}_0$. Найти $\operatorname{div} \vec{A}$ в областях r .

1.41. Определить дивергенцию векторного поля \vec{A} , имеющего в сферической системе координат единственный составляющую

$$A_\theta = 8re^{-10r}; \quad A_r = 0; \quad A_\varphi = 0.$$

1.42. Найти $\frac{\text{дивергенцию}}{\text{вектора}}$ вектора $\vec{B} = \vec{A} \cdot r$, где

$$\vec{A} = A_x \vec{x}_0 + A_y \vec{y}_0 + A_z \vec{z}_0, \quad r = \sqrt{x^2 + y^2 + z^2}.$$

1.43. В цилиндрической системе координат вектор

$$\vec{A} = \left\langle \frac{10r^3}{4} \right\rangle \vec{r}_0. \quad \text{Найти } \operatorname{div} \vec{A}.$$

Поток векторов

1.44. Поместить поток вектора $\vec{A} = x \cdot y \cdot \vec{x}_0 + 2y \cdot \vec{y}_0 - z \cdot \vec{z}_0$ сквозь поверхность сферы $x^2 + y^2 + z^2 = 9$.

Указание: использовать сферическую систему координат.

1.45. Подсчитать поток вектора $\vec{A} = \frac{5}{r^2} \vec{r}_0$ сквозь сферическую

поверхность радиусом $r = a$ с центром в начале координат.

1.46. Подсчитать поток радиуса-вектора $\vec{r} = x \cdot \vec{x}_0 + y \cdot \vec{y}_0 + z \cdot \vec{z}_0$ сквозь полную поверхность прямого круглого цилиндра радиусом a , высотой h . Убедиться в справедливости теоремы Остроградского – Гаусса.

1.47. Задан вектор $\vec{A} = \left\langle \frac{10x^3}{3} \right\rangle \vec{x}_0$. Найти поток этого вектора через поверхность куба с ребром 2 м ($-1 \leq x \leq 1$; $-1 \leq y \leq 1$; $-1 \leq z \leq 1$), убедиться в справедливости теоремы Остроградского – Гаусса.

1.48. Найти поток вектора $\vec{A} = 30e^{-r} \vec{r}_0 - 2z \cdot \vec{z}_0$ сквозь поверхность прямого круглого цилиндра радиусом $r = 2$ м, высотой $h = 5$ м, убедиться в справедливости теоремы Остроградского – Гаусса.

1.49. Для поля $\vec{D} = \frac{5r^2}{4} \vec{r}_0$ оценить результаты вычислений при использовании левой и правой частей теоремы Остроградского для объема, заключенного между двумя сферическими поверхностями радиусами $r_1 = 1$; $r_2 = 2$.

1.50. Найти поток вектора $\vec{A} = \frac{5r^2}{4} \vec{r}_0$ сквозь поверхность конуса

са, размеры которого указаны на рис. 1.1.

- 1.51. Используя теорему Остроградского – Гаусса, найти поток вектора $\tilde{A} = \frac{10r^3}{4}\tilde{r}_0$ сквозь поверхность, ограниченную координатами $r = 2$, $z_1 = 0$; $z_2 = 10$ цилиндрической системы координат (рис. 1.2).

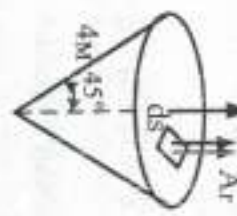


Рис. 1.1

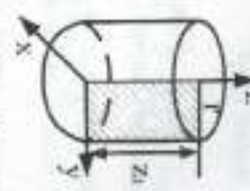


Рис. 1.2

- 1.52. Задан вектор $\tilde{A} = x^2\tilde{x}_0 + (x \cdot y)^2\tilde{y}_0 + 24x^2y^2z^3\tilde{z}_0$. Вычислить поток этого вектора через поверхность куба с ребром, равным единице длины, и вершиной в начале координат. Вычислив интеграл $\int d\tilde{A} \cdot d\tilde{S}$, где V – объем куба, убедиться в справедливости теоремы Остроградского – Гаусса.

- 1.53. Задан вектор $\tilde{B} = \operatorname{rot} \tilde{A}$. Найти поток этого вектора через поверхность сферы $x^2 + y^2 + z^2 = a^2$.

- 1.54. Поменять порядок радиуса вектора сквозь сферическую поверхность радиусом a с центром в начале координат.

Дивергенция вектора

- 1.55. Найти параллельно вектора $\tilde{A} = -\frac{y}{a}\tilde{x}_0 + \frac{x}{a}\tilde{y}_0$ по окружности $x^2 + y^2 = a^2$.

- 1.56. Вычислить циркуляцию радиуса-вектора по окружности $x^2 + y^2 = a^2$.

- 1.57. Найти циркуляцию вектора $\tilde{A} = x \cdot \tilde{x}_0 + x^2z \cdot \tilde{y}_0 + y^2z \cdot \tilde{z}_0$ по контуру L (рис. 1.3).

- 1.58. Задан вектор $\tilde{A} = \operatorname{grad} \varphi$. Вычислить параллелограмм этого вектора по окружности $x^2 + y^2 = a^2$.

- 1.59. Положить циркуляцию вектора $\tilde{A} = (x - 2z)\tilde{x}_0 + (x + 3y + z)\tilde{y}_0 + (5x + y)\tilde{z}_0$ по периметру треугольника abc с координатами вершин $a(1,0,0)$, $b(0,0,1)$, $c(0,1,0)$.

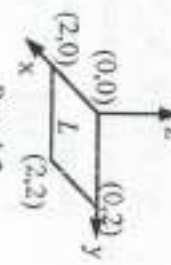


Рис. 1.3

- 1.60. Найти поток вектора $\tilde{A} = x \cdot \tilde{x}_0 + x^2z \cdot \tilde{y}_0 + y^2z \cdot \tilde{z}_0$ в начале координат.

- 1.61. Задано векторное поле $\tilde{A} = (y \cdot \cos ax)\tilde{x}_0 + (y + e^x)\tilde{y}_0$. Найти $\operatorname{rot} \tilde{A}$ в начале координат.

- 1.62. Задано векторное поле $\tilde{A} = (\cos x \cdot \sin y)\tilde{x}_0 + (\sin x \cdot \cos y)\tilde{y}_0$. Найти $\operatorname{rot} \tilde{A}$.

- 1.63. В цилиндрической системе координат задан вектор

$$\tilde{A} = \sin 2\varphi \cdot \tilde{\varphi}_0. \text{ Найти } \operatorname{rot} \tilde{A} \text{ в точке } \left(2; \frac{\pi}{4}; 0\right).$$

- 1.64. Задано векторное поле $\tilde{A} = 5e^{-r} \cos \varphi \cdot \tilde{r}_0 - 5 \cos \varphi \cdot \tilde{z}_0$. Найти $\operatorname{rot} \tilde{A}$ в точке $\left(2; \frac{3\pi}{2}; 0\right)$.

- 1.65. В сферической системе координат задан вектор

$$\tilde{A} = 8re^{-10r} \cdot \tilde{\theta}_0. \text{ Найти } \operatorname{rot} \tilde{A}.$$

- 1.66. В сферической системе координат задан вектор

$$\tilde{A} = 10 \sin \theta \cdot \tilde{\theta}_0. \text{ Найти } \operatorname{rot} \tilde{A} \text{ в точке } \left(2; \frac{\pi}{2}; 0\right).$$

- 1.67. В сферической системе координат задан вектор

$$\tilde{A} = 2,5 \cdot \tilde{\theta}_0 + 5\tilde{\phi}_0. \text{ Найти } \operatorname{rot} \tilde{A} \text{ в точке } \left(2; \frac{\pi}{6}; 0\right).$$

- 1.68. В цилиндрической системе координат задан вектор

$\vec{A} = 5r \sin \varphi \cdot \hat{z}_0$. Найти $\text{rot } \vec{A}$ в точке $(2; \pi/0)$.

- 1.69. Доказать, что $\text{rot rot } \vec{A} = \text{grad div } \vec{A} - \nabla^2 \vec{A}$. Для доказательства использовать формулу векторной алгебры
- $$\left[\vec{a} \times \left[\vec{b} \times \vec{c} \right] \right] = \vec{b} \left(\vec{a} \vec{c} \right) - \vec{c} \left(\vec{a} \vec{b} \right) = \vec{b} \left(\vec{a} \vec{c} \right) - \left(\vec{a} \vec{b} \right) \vec{c}.$$

- 1.70. Задан вектор $\vec{B} = \text{rot } \vec{A}$. Найти поток этого вектора через поверхность сферы $x^2 + y^2 + z^2 = \sigma^2$.

1.71. Определить ротор вектора

$$\vec{A} = (x - 2z)\hat{x}_0 + (x + 3y + z)\hat{y}_0 + (5x + y)\hat{z}_0,$$

найти его поток

$$\left(\int_S \rho \vec{A} ds \right) \text{ через поверхности, опирающиеся на треугольник } abc \text{ с}$$

координатами вершин $a(1, 0, 0)$, $b(0, 0, 1)$, $c(0, 1, 0)$.

1.72. В сферической системе координат задано векторное поле

$$\vec{A} = \frac{2 \cos \theta}{r^3} \hat{r}_0 + \frac{\sin \theta}{r^3} \hat{\theta}_0. \text{ Доказать, что } \text{rot } \vec{A} = 0.$$

где dr_0 – толщина слоя заряженной поверхности.

Линейное распределение зарядов характеризуется линейной плотностью зарядов $\tau = \lim_{\Delta l \rightarrow 0} \frac{\Delta Q}{\Delta l} = \frac{dQ}{dl}$. Размерность $[\tau] = \text{Кл/м}$.

Полный заряд идет $Q = \int_L dl$.

Полный заряд системы точечных зарядов равен их сумме

$$Q = \sum_{i=1}^n q_i.$$

2. ОСНОВНЫЕ ХАРАКТЕРИСТИКИ ЭЛЕКТРОМАГНИТНОГО ПОЛЯ: ЗАРЯДЫ, ЭЛЕКТРИЧЕСКИЕ ТОКИ

Электромагнитное поле – это особый вид материи, способный распространяться в вакууме со скоростью света и оказывать влияние на движение заряженных частиц. Оно представляет собой единство двух составляющих – электрического и магнитного полей. Основными характеристиками электромагнитного поля являются заряды, электрические токи, векторы поля.

Заряды могут быть распределены по объему, по поверхности и по линии. Объемное распределение зарядов характеризуется объемной плотностью $\rho = \lim_{\Delta V \rightarrow 0} \frac{\Delta Q}{\Delta V} = \frac{dQ}{dV}$. Размерность $[\rho] = \text{Кл/м}^3$.

Полный заряд, сосредоточенный в объеме V , $Q = \int_V \rho dV$.

Поверхностное распределение зарядов характеризуется поверхностной плотностью заряда $\rho_s = \lim_{\Delta s \rightarrow 0} \frac{\Delta Q}{\Delta s} = \frac{dQ}{ds}$. Размерность $[\rho_s] = \text{Кл/m}^2$.

$$[Q] = \text{Кл/m}^2.$$

Полный заряд поверхности $Q = \int_S \rho_s ds$.

Связь между поверхностной и объемной плотностями зарядов

$$\rho_s = \rho dr_0,$$

где dr_0 – толщина слоя заряженной поверхности.

- 1.73. В цилиндрической системе координат задан вектор $\vec{A} = \frac{2 \cos \theta}{r^3} \hat{r}_0 + \frac{\sin \theta}{r^3} \hat{\theta}_0$. Доказать, что $\text{rot } \vec{A} = 0$.

$$\vec{A} = e^{-2z} \begin{pmatrix} \sin \frac{\varphi}{2} \\ 0 \\ 2 \end{pmatrix} \hat{\varphi}_0. \text{ Найти } \text{rot } \vec{A} \text{ в точке } \left(0,8; \frac{\pi}{3}; 0,5 \right).$$

1.74. В сферической системе координат задан вектор

$$\vec{A} = \sin \varphi \cdot \hat{r}_0 + \sin \theta \cdot \hat{\varphi}_0. \text{ Найти } \text{rot } \vec{A} \text{ в точке } \left(2; \frac{\pi}{2}; 0 \right).$$

Движущиеся заряды образуют электрический ток. Сила тока $I = \lim_{\Delta t \rightarrow 0} \frac{\Delta Q}{\Delta t} = -\frac{dQ}{dt}$. Размерность $[I] = A$.

Элемент тока $d\vec{J} = d\vec{Q}\vec{v}$, где \vec{v} – вектор скорости движения заряда. Различают несколько видов распределения токов. Объемное

распределение тока характеризуется вектором объемной плотности тока $\vec{\delta} = \frac{d\vec{J}}{dV} = \frac{dQ}{dV} \vec{v} = \rho \vec{v}$. Размерность $[\vec{\delta}] = \text{А/м}^2$.

Сила тока, протекающего через некоторую поверхность S , $I = \int_S \vec{\delta} dS$.

Направление вектора $\vec{\delta}$ совпадает с направлением движения положительных зарядов.

Поверхностное распределение тока характеризуется вектором поверхностной плотности тока $\vec{\delta}_s = \frac{d\vec{J}}{ds} = \frac{dQ}{ds} \vec{v} = \rho_s \vec{v}$. Размерность $[\vec{\delta}_s] = \text{А/м}$.

Сила тока, текущего по поверхности (рис. 2.1), $I = \int_L \vec{\delta}_s d\vec{l}$, где L – линия, перпендикулярная к линиям тока, текущего по поверхности.

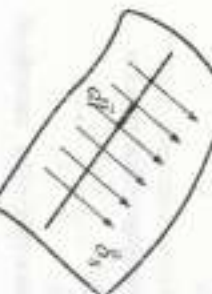


Рис. 2.1

Сила тока, текущего по линии, равна по величине линейной плотности тока: $I = \Gamma V$.

Векторы поля

Электромагнитное поле определено, если в каждой точке пространства известны величина и направления четырех векторов: \vec{E} – напряженность электрического поля, \vec{D} – электрического смещения (индукции), \vec{H} – напряженность магнитного поля, \vec{B} – магнитной индукции.

Векторы \vec{D} и \vec{H} являются функциями только источников поля и не зависят от параметров среды ϵ_0, μ_0 . Векторы \vec{E} и \vec{B} характеризуют силу, с которой поля действуют на заряды. Они зависят от параметров среды: $\vec{E} = \frac{\vec{D}}{\epsilon_0}$; $\vec{B} = \mu_0 \vec{H}$. Количествоенная характеристика электрического поля экспериментально установлена законом Кулона,

определенным силу взаимодействия между точечными зарядами, находящимися в однородной среде: $d\vec{F} = \frac{dq_1 dq_2}{4\pi\epsilon_0 r^2} \vec{r}_0$, где \vec{r}_0 – единичный вектор, направленный от первого заряда ко второму; $d\vec{F}$ – сила,

действующая со стороны заряда dq_1 на заряд dq_2 ; r – расстояние между зарядами; ϵ_0 – абсолютная диэлектрическая проницаемость среды; $\epsilon_0 = \epsilon_0 \epsilon$, где ϵ_0 – диэлектрическая проницаемость вакуума; ϵ – относительная диэлектрическая проницаемость среды. Коэффициент ϵ показывает, во сколько раз сила взаимодействия между зарядами в данной среде меньше, чем в вакууме.

Напряженность электрического поля равна силе, с которой поле действует на единичный положительный точечный заряд, помещенный в электрическое поле.

$$\text{Размерность напряженности } [E] = \frac{[F]}{[q]} = \frac{\text{Дж}}{\text{Кл} \cdot \text{м}} = \frac{\text{Кл} \cdot \text{В}}{\text{Кл} \cdot \text{м}} = \frac{\text{В}}{\text{м}}.$$

$$\text{Напряженность поля точечного заряда } dE = \frac{dq}{4\pi\epsilon_0 r^2} \vec{r}_0.$$

В каждой точке пространства вектор \vec{E} поля точечного заряда направлен по прямой, соединяющей заряд с точкой наблюдения. Графически электрическое поле изображают с помощью силовых линий, густота которых пропорциональна напряженности поля.

$$\text{Размерность вектора электрического смещения } [D] = \text{Кл} \cdot \text{м}^2.$$

$$\text{Единица измерения магнитной индукции } [B] = \text{Вб/м}^2 = \text{Гн}.$$

Размерность вектора напряженности магнитного поля напряженности электрического поля, D – электрического смещения (индукции), H – напряженности магнитного поля, B – магнитной индукции.

Среди: $\mu_0 = \mu \mu_0$, где μ – относительная магнитная проницаемость среды, показывающая, во сколько раз сила взаимодействия между точками в линейной среде больше, чем в вакууме; μ_0 – магнитная проницаемость вакуума.

Сила взаимодействия между проводниками с токами устанавливается законом Ампера:

$$d\vec{F}_{12} = \frac{\mu_0}{4\pi r^2} [d\vec{J}_2 [d\vec{J}_1 \vec{r}_0]].$$

где $d\vec{F}_{12}$ — сила, действующая со стороны элемента тока $d\vec{j}_1$ на элемент тока $d\vec{j}_2$; r — расстояние между элементами тока.

Однако направленные элементы тока притягиваются, а направленные в противоположные стороны — отталкиваются.

$$\text{Соотношение } d\vec{B} = \frac{\mu_0}{4\pi r^2} [d\vec{j}\vec{r}_0] \text{ носит на-}$$

зование закона Бю - Савара.

Вектор магнитной индукции \vec{B} по величине равен силе, действующей на единичный элемент тока, и его направление перпендикулярно к этой силе и элементу тока (рис. 2.2). Векторы \vec{B} , $d\vec{j}$ и \vec{r}_0 образуют правую тройку векторов.

Задачи

- 2.1. Шар радиусом a заряжен с объемной плотностью $\rho = \rho_0 \frac{r^2}{a^2} \sin \theta [\text{Кл}/\text{м}^3]$. Найти полный заряд шара Q .

- 2.2. Нить длиной l , направленная щелью оси x , заряжена с плотностью $\tau = \tau_0 \cos \left(\frac{\pi}{a} x \right)$. Вычислить полный заряд нити Q при $l = a/4; a/2; 2a$.

- 2.3. Шар радиусом a заряжен с объемной

$$\text{плотностью } \rho = \rho_0 \frac{r}{a} \cos \theta. \text{ Вычислить полный}$$

заряд шара Q .

- 2.4. Сфера радиусом a , заряженная с плотностью $\rho_s = \rho_0 \sin \theta [\text{Кл}/\text{м}^2]$, вращается со скостью ω вокруг оси, проходящей через ее центр. Вычислить поверхностную плотность тока и полный ток J на ее поверхности (рис. 2.3).

- 2.5. Цилиндр радиусом a , высотой h , заряженный с плотностью $\rho_s = \rho_0 \frac{x^2}{a^2} [\text{Кл}/\text{м}^2]$, вращается вокруг оси z со скоростью ω . Вычислить силу тока на боковой поверхности цилиндра.

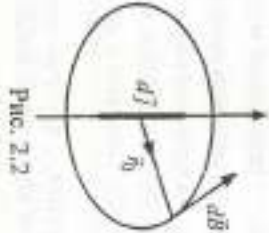
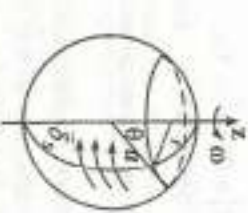


Рис. 2.2

2.6. Вычислить силу взаимодействия на единицу длины двух параллельных бесконечных нитей, равномерно заряженных с линейской плотностью τ_1 и τ_2 и расположенных на расстоянии d в однородной среде с диэлектрической проницаемостью δ_0 .

2.7. Электрон с зарядом $e = -1,6 \cdot 10^{-19}$ Кл и массой $m = 9,1 \cdot 10^{-31}$ г, летящий вдоль оси z со скоростью $v = 10^7$ м/с, попадает в зону, где одновременно существует электрическое и магнитное поля $\vec{E} = E_x \vec{x}_0; E_x = 10^6$ В/м; $\vec{B} = B_z \vec{y}_0; B_z = 4 \cdot 10^{-2}$ Вб/м². Определить направление и величину силы, воздействующей на электрон, и его ускорение.

2.8. Бесконечно тонкий диск радиусом a , заряженный с плотностью $\rho_s = \rho_0 \frac{r}{a} [\text{Кл}/\text{м}^2]$, вращается вокруг оси со скоростью ω . Вычислить, поверхность плотность тока δ_s и полный ток I на поверхности диска (рис. 2.4).

2.9. Сравнить $d\vec{F}_{12}$ и $d\vec{F}_{21}$ для следующих комбинаций элементов токов (рис. 2.5).

Указание: использовать формулу векторной алгебры для двойного векторного произведения $[\vec{a} \times (\vec{b} \times \vec{c})] = \vec{b}(\vec{a} \cdot \vec{c}) - \vec{c}(\vec{a} \cdot \vec{b})$.

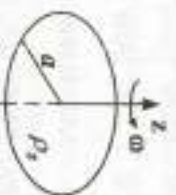


Рис. 2.4



Рис. 2.5

2.10. Определить силу взаимодействия на единицу длины двух бесконечных параллельных проводов с токами $I_1 = 2$ А и $I_2 = 5$ А, протекающими в одном направлении. Провода находятся в воздухе на расстоянии 10 см.

2.11. По кругому пиллярному проводнику диаметром 4 мм протекает ток I силой 2 А. Провод выполнен из меди ($\sigma = 5,7 \cdot 10^7$ См/м). Определить тангенциальную составляющую вектора

напряженности электрического поля на поверхности проводника.

2.12. Круглый диск радиусом $a = 4$ м заряжен с поверхностной плотностью $\rho_s = \frac{\sin^2 \varphi}{2r} \left[\text{Кл/м}^2 \right]$. Найти полный заряд диска.

2.13. Найти полный заряд, находящийся между двумя сферами $1 \text{ м} \leq r \leq 2 \text{ м}$, если объемная плотность заряда в сферической системе координат $\rho = \frac{5 \cos^2 \varphi}{r^4} \left[\text{Кл/м}^3 \right]$.

2.14. Найти полный ток, текущий по цилиндрическому проводнику радиусом $a = 2 \text{ мм}$, если объемная плотность тока

$$\vec{\delta} = \frac{10^3}{r} \vec{z}_0 \left[\text{А/м}^2 \right].$$

2.15. Найти полный ток, текущий через плоскость, лежащую в плоскости $x = 0$, и ограниченную значениями $-\frac{\pi}{4} \leq y \leq \frac{\pi}{4}$ и $-0,01 \text{ м} \leq z \leq 0,01 \text{ м}$, если $\vec{\delta} = 100 \cdot \cos 2y \cdot \vec{z}_0 \left[\text{А/м}^2 \right]$.

2.16. Построить суммарный вектор напряженности электрического поля \vec{E}_S в точке наблюдения $M(x, y)$, созданный зарядами $q_1 = -2 \text{ Кл}$, $q_2 = -1 \text{ Кл}$, находящимися на одинаковом расстоянии от точки наблюдения (рис. 2.6).

2.17. Найти напряженность электрического поля \vec{E} (модуль и направление) в точке $(0, 3, 4)$ декартовой системы координат, созданную точечным зарядом $q = 0,5 \text{ мкКл}$, расположенным в начале координат.

2.18. Заряд $q = 2 \cdot 10^{-6} \text{ Кл}$ равномерно распределен по тонкому стержню. Определить напряженность электрического поля в точке, отстоящей от конца стержня на расстоянии $R = 20 \text{ см}$, а от середины стержня — на расстоянии $R_0 = 15 \text{ см}$. $\delta_a = \delta_0$.

2.19. В цилиндрическом проводнике радиусом 2 мм объемная плотность тока $\vec{\delta} = 10^3 e^{-400r} \vec{z}_0 \left[\text{А/м}^2 \right]$. Найти полный ток в проводнике.

2.20. Два заряда в вакууме взаимодействуют на расстоянии 11 см с такой же силой, как и скриндер на расстоянии 7,4 см. Определить относительную диэлектрическую проницаемость скриндера ($\epsilon_{\text{ск}}$).

2.21. Заряды $q_1 = 50 \text{ мкКл}$ и $q_2 = 10 \text{ мкКл}$ расположены в точках $(-1, 1, -3)$ и $(3, 1, 0)$ соответственно. Диэлектрическая проницаемость $\delta_a = \delta_0$. Найти силу, действующую на заряд q_1 со стороны заряда q_2 .

2.22. Найти силу взаимодействия между зарядами $q_1 = 20 \text{ мкКл}$ и $q_2 = -300 \text{ мкКл}$, расположенных в точках $(0, 1, 2)$ и $(2, 0, 0)$ соответственно (рис. 2.7). Диэлектрическая проницаемость

$$\delta_a = \delta_0.$$

2.23. Найти напряженность электрического поля E в точке $(0, 0, 5)$ (рис. 2.8), созданную зарядами $q_1 = 0,35 \text{ мкКл}$, расположенным в точке $(3, 0, 0)$, и $q_2 = -0,55 \text{ мкКл}$, расположенным в точке

(3, 0, 0).

2.24. На рис. 2.9 показаны две параллельные бесконечные заряды с линейной плотностью $\tau = 4 \text{ пКл/м}$ шиты, расположенные вдоль оси z в плоскости $x = 0$ на расстояниях $y = \pm 4 \text{ м}$. Найти напряженность поля \vec{E} в точке $P(4, 0, z)$.

2.25. Вывести выражение для напряженности электрического поля \vec{E} в точке P на оси z , созданного бесконечной плоскостью xoy , заряженной равномерно с поверхностной плотностью ρ_s (рис. 2.10). Диэлектрическая проницаемость среды $\delta_a = \delta_0$.

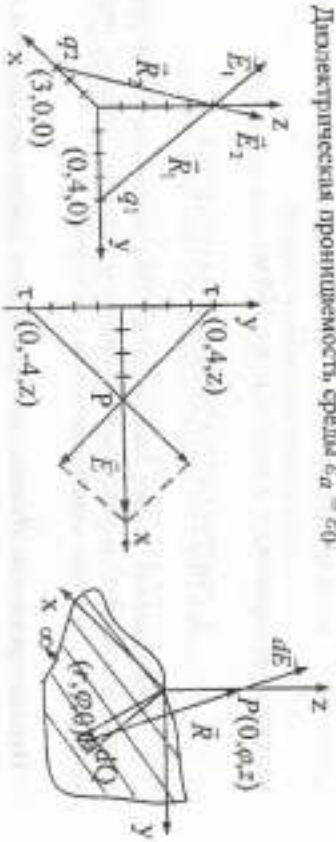


Рис. 2.8

Рис. 2.9

Рис. 2.10

2.26. Два одинаковых заряда, находящиеся на малых расстояниях, отстоящих друг от друга на расстоянии 10 см, взаимодействуют в воздухе с силой $F = 5 \cdot 10^{-4} \text{ Н}$. Определить величину зарядов.

2.27. Точечный заряд $q_1 = 300 \text{ мкКл}$, находящийся в точке $(1, -1,$



Рис. 2.7

-3), действует с силой $\vec{F}_1 = 8\vec{x}_0 - 8\vec{y}_0 + 4\vec{z}_0$ Н на точечный заряд q_2 , находящийся в точке $(3, -3, 2)$. $\varepsilon_a = \varepsilon_0$. Найти заряд q_2 .

2.28. Найти напряженность электрического поля \vec{E} в точке P на оси круглого диска радиусом $r = a$, равномерно заряженного с поверхностной плотностью ρ_s (рис. 2.11).

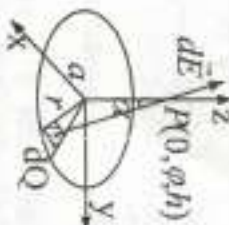


Рис. 2.11

2.29. Точечные заряды $q_1 = 250$ мкКл и $q_2 = -300$ мкКл расположены в точках $(5, 0, 0)$ м и $(0, 0, -5)$ м соответственно. Найти силу, действующую на заряд q_2 .

2.30. Точечные заряды $q_1 = 30$ мкКл и $q_2 = -100$ мкКл расположены в точках $(2, 0, 5)$ м и $(-1, 0, -2)$ м соответственно. Найти силу, действующую на заряд q_1 .

2.31. В сферическом пространстве в области $r \leq a$ сферической системы координат известно электрическое поле напряженностью $\vec{E} = \frac{\rho r}{3\varepsilon_0} \vec{r}_0$. Приказ $r = b \leq a$, убедиться в справедливости теоремы Остроградского - Гаусса.

2.32. Шар радиусом $r = 2$ м заряжен с объемной плотностью $\rho = -\frac{200}{r^2}$ мкКл/м³. Найти поток $\int \vec{D} d\vec{s}$ сквозь сферические поверхности радиусами $r = 1$ м; $r = 4$ м; $r = 100$ м.

3. СИСТЕМА УРАВНЕНИЙ МАКСВЕЛЛА

Классическая теория электромагнетизма основывается на уравнениях Максвелла, являющихся обобщением опытных данных, полученных при изучении электромагнитных явлений.

Первое уравнение Максвелла – обобщение закона гаусса тока

Циркуляция вектора напряженности магнитного поля \vec{H} по замкнутому контуру L равна скорости изменения магнитного потока Φ , взятой с обратным знаком: $\int_L \vec{H} d\vec{l} = -\frac{\partial \Phi}{\partial t} = -\frac{\partial}{\partial t} \int_S \vec{B} d\vec{s}$.

При изменении магнитной индукции \vec{B} или деформации и перемещении проводящего контура L в нем возникает ЭДС индукции. Дифференциальная форма записи этого уравнения $\operatorname{rot} \vec{H} = -\frac{\partial \vec{B}}{\partial t}$. Изменение магнитного поля во времени ($\frac{\partial \vec{B}}{\partial t}$) вызывает появление вихревого электрического поля в пространстве ($\operatorname{rot} \vec{E}$).

$$\int_L \vec{H} d\vec{l} = \int_S \vec{D} d\vec{s} + \frac{\partial}{\partial t} \int_S \vec{D} d\vec{s} + \int_S \vec{D}_{\text{ст}} d\vec{s},$$
 где \vec{D} – объемная плотность тока проницаемости;
 $\vec{D}_{\text{ст}}$ – объемная плотность стороны тока;

$$\vec{D} = \vec{D}_{\text{ст}} + \frac{\partial \vec{D}}{\partial t}$$
 – объемная плотность стороннего поля;

$$\vec{D}$$
 – вектор электрического смещения.

Дифференциальная форма записи этого уравнения имеет вид:

$$\operatorname{rot} \vec{H} = \vec{D} + \frac{\partial \vec{D}}{\partial t} + \vec{D}_{\text{ст}},$$

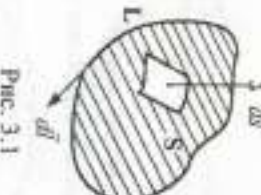


Рис. 3.1

Третье уравнение Максвелла – теорема о потоке вектора электрической индукции (стационарного)

Поток вектора электрического смещения \vec{D} сквозь замкнутую поверхность S равен полному заряду Q , находящемуся в объеме V , ограниченном поверхностью S (рис. 3.2):

$$\oint_S \vec{D} d\vec{s} = \int_V \rho dV = Q,$$

где ρ – объемная плотность зарядов.

Рис. 3.2

Дифференциальная форма записи этого уравнения $\operatorname{div} \vec{D} = \rho$. Источником силовых линий электрического поля являются электрические заряды.

Четвертое уравнение Максвелла – закон непрерывности магнитного поля

Поток вектора магнитной индукции \vec{B} через замкнутую поверхность S равен нулю: $\oint_S \vec{B} d\vec{s} = 0$.

В дифференциальной форме $\operatorname{div} \vec{B} = 0$. В природе нет магнитных зарядов, которые являются бы источниками или стоками силовых линий магнитного поля, поэтому магнитные силовые линии поля всегда замкнуты.

Из первого и третьего уравнений Максвелла вытекает закон сохранения заряда $\int_S \vec{D} d\vec{s} = -\frac{\partial}{\partial t} \int_V \rho dV$ или $I = -\frac{\partial Q}{\partial t}$. Минус обозначает, что при вытекании тока из объема заряд Q последнее уменьшается, а при входении тока в объем заряд Q последнее увеличивается.

Дифференциальная форма записи этого уравнения: $\operatorname{div} \vec{D} = -\frac{\partial \rho}{\partial t}$.

Математическое уравнение: $\vec{D} = \epsilon_0 \vec{E}$, $\vec{B} = \mu_0 \vec{H}$.

Обобщенный закон Ома: $\vec{J} = \sigma (\vec{E} + \vec{E}_{\text{ст}}$), где σ – удельная проводимость среды.

Задачи

3.1. Определить циркуляцию вектора \vec{H} по контуру с координатами $(0,0); (0,1); (1,1); (1,0)$, если плотность тока проводимости $\vec{J} = \vec{J}_0 \frac{y}{x^2}$, $\vec{J}_0 \perp$ плоскости XOY ; плотность тока смещения $\frac{\partial \vec{D}}{\partial t} = 0$.

3.2. Определить циркуляцию вектора \vec{H} по контуру (см. 3.1), если объемная плотность тока проводимости $\vec{J}_0 = 0$, а плоскость электрического смещения $\vec{D} = \vec{D}_0 y (\sin \pi x) / x$; $\vec{D}_0 \perp$ плоскости XOY .

3.3. Квадратная рамка со стороной $a = 1$ м находится в поле $H = H_0 \sin \omega t$. Магнитная проницаемость среды $\mu_a = \mu_0$, плоскость рамки перпендикулярна к \vec{H} . Определить ЭДС, выводимую в рамке. 3.4. Дано $\vec{E} = E_x \hat{x}_0$. Локализовать, что для переменных во времени полей в однородной изотропной среде без свободных токов и зарядов $\vec{E} \perp \vec{H}$. Считая $\vec{J} = \vec{J}_0 \vec{z}_0$, показать, что $\vec{H} \perp \vec{J}$.

3.5. Проводник длиной l движется со скоростью \vec{v} в равномерном магнитном поле, напряженность которого равна \vec{H} , пересекая силовые линии под углом α . Вычислить ЭДС между концами проводника (рис. 3.3).

3.6. Вычислить напряженность магнитного поля \vec{H} на расстоянии r от прямолинейного бесконечного проводника с током I .

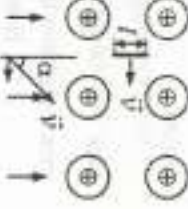


Рис. 3.3

3.7. Пластины плоского конденсатора, помещенного к источнику ЭДС $U = \text{const}$, сближаются со скоростью v . Вычислить плотность тока смещения и величину тока во внешней цепи, если площадь пластины S , а расстояние между пластинами при $v = 0$ равно d_0 . $\sigma_a = \sigma_0$. Краевой эффект не учитывать.

3.8. Некоторое тело с диэлектрической проницаемостью ϵ_d и проводимостью σ в начальный момент времени заряжено с объемной

плотностью $\rho = \rho_0$. Определить, за какое время во внутренней части тела объемная плотность зарядов ρ уменьшится вдвое. Нарушается ли закон сохранения заряда?



Рис. 3.4

3.9. В однородном магнитном поле с индукцией \bar{H} (рис. 3.4) вращается прямоугольная рамка со скоростью $\omega = 2\pi n$. Длины сторон a и b , число витков N , магнитная проницаемость среды $\mu_s = \mu_0$, n — число оборотов в секунду. Вычислить ЭДС в рамке.

3.10. Задано поле \bar{D} :

$$\bar{D} = \begin{cases} kr & \text{при } 0 \leq r \leq a; \\ \frac{a^3}{r^2} \bar{r} & \text{при } a < r \leq \infty, \end{cases}$$

где \bar{r} — радиус-вектор. Найти распределение зарядов, образовавших такое поле.

3.11. В некоторой области с диэлектрической проницаемостью ϵ_0 задано поле $\bar{E} = k(x^2 \bar{x}_0 + y^3 \bar{y}_0)$. Вычислить объемную плотность зарядов.

3.12. В проводящей среде с проводимостью $\sigma = 8 \text{ См}/\text{м}$ постоянный ток создает магнитное поле $\bar{H} = 2y \cdot \bar{x}_0 - 6x \cdot \bar{y}_0$. Определить электрическое поле \bar{E} в среде.

3.13. В свободном пространстве (ϵ_0, μ_0) электромагнитное поле задано сферически симметричными выражениями $\bar{E} = E_0 e^{-jkx} \bar{y}_0$, $\bar{H} = H_0 e^{-jkx} \bar{z}_0$.

При каких значениях k и $\frac{E_0}{H_0}$ это поле удовлетворяет уравнению Максвелла?

3.14. Самолет летит горизонтально со скоростью $v = 200 \text{ м}/\text{s}$. Вычислить разность потенциалов между концами крыльев, если расстояние между ними 30 м, а вертикальные составляющие напряженности магнитного поля Земли $H_0 = 0.02 \text{ А}/\text{м}$.

3.15. При какой частоте отношение плотностей токов смешения и проводимости в меди ($\sigma_m = 5,7 \cdot 10^7 \text{ См}/\text{м}$, $\epsilon_m = \epsilon_0$) будет таким же,

как и в сухой почве ($\sigma_n = 10^4 \text{ См}/\text{м}$, $\epsilon_n = 2\epsilon_0$) на частоте $f = 10^3 \text{ Гц}$?

3.16. По бесконечному прямолинейному проводнику протекает постоянный ток I . Плоская рамка размерами a и b (рис. 3.5) удаляется от проводника со скоростью \bar{v} . Вычислить ЭДС в рамке, если число витков в неё равно N , начальное расстояние r_0 , и параметры среды σ_0, μ_0 .

3.17. Определить частоту f_0 , при которой амплитуда объемной плотности тока смешения и плотности тока проводимости будут равны: 1) среда — медь ($\sigma_m = 5,7 \cdot 10^7 \text{ См}/\text{м}$, $\epsilon = 1$); 2) среда — морская вода ($\sigma_w = 4 \text{ См}/\text{м}$, $\epsilon = 80$).

3.18. Вычислить, на какой частоте плотности токов смешения и проводимости будут одинаковы в среде с $\sigma = 10^2 \text{ См}/\text{м}$, $\sigma_0 = 3\epsilon_0$. 3.19. По прямолинейному проводнику протекает ток $I = I_0 \cos \omega t$ (рис. 3.6). Вычислить ЭДС, наведенную в рамке, состоящей из 10 витков, если $r = 0,5 \text{ м}$; $a = 5 \text{ см}$; $b = 10 \text{ см}$; $I_0 = 1 \text{ А}$; $\omega = 10^3 \text{ л/c}$; $\mu_s = \mu_0$.

3.20. Металлический стержень длиной l вращается с угловой скоростью ω в однородном магнитном поле \bar{B} . Вычислить ЭДС в стержне (рис. 3.7).

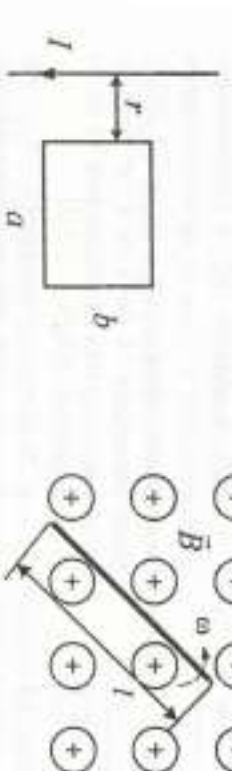


Рис. 3.6

3.21. Показать, что уравнение непрерывности тока (закон сохранения заряда) вытекает из первого и третьего уравнений Максвелла при условии, что $\delta_{\text{сп}} = 0$.

3.22. Определить силу тока смешения между квадратными пластинами волнушного конденсатора со стороной 5 см, если напряжения

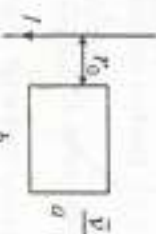


Рис. 3.7

нность электрического поля и тем изменяется со скоростью $4,52 \cdot 10^6$ В/мс. Краевой эффект не учитывать.

3.23. Внутри цилиндрического проводника радиусом $r_0 = 10^{-2}$ м магнитное поле $\bar{H} = \frac{10^4}{r} \left(\frac{1}{a^2} \sin ar - \frac{r}{a} \cos ar \right) \hat{\varphi}_0$ (А/м), где $a = \frac{\pi}{2r_0}$.

Найти силу тока в проводнике.

3.24. Магнитное поле бесконечного прямолинейного проводника с током I радиусом a :

$$\bar{H} = \left(\frac{I r}{2\pi a^2} \right) \hat{\varphi}_0 \text{ при } r \leq a;$$

$$\bar{H} = \frac{I}{2\pi r} \hat{\varphi}_0 \text{ при } r \geq a.$$

Найти объемную плотность тока \bar{J} в обеих областях.

3.25. По металлическому проводнику ($\sigma_m = 5,7 \cdot 10^7$ См/м) диаметром 2 мм протекает постоянный ток силой 7,5 А. Определить касательную составляющую вектора напряженности электрического поля на поверхности провода.

3.26. В однородном постоянном магнитном поле с индукцией $B = 5 \cdot 10^{-6}$ Т вращается виток провода радиусом $a = 0,2$ м с угловой скоростью 50 об/с. Сопротивление витка $R = 5$ Ом. Ось вращения перпендикулярна к плоскости \bar{B} . Найти максимальное значение тока в витке и изобразить зависимость тока от времени.

3.27. Вычислить ЭДС в удаляющейся со скоростью $v = 5$ м/с от прямолинейного бесконечного проводника с током $I = 100$ А рамке размерами 10 см \times 8 см в тот момент, когда она находится на расстоянии 15 см от проводника (рис. 3.8).

3.28. В области значения $0 \leq r \leq 2$ цилиндрической системы координат задано поле вектора смешения $\bar{D} = (4r^{-1} + 2e^{-0.5r} + 4re^{-0.5r}) \hat{r}_0$, а в области $r > 2$ $\bar{D} = \left(\frac{2.057}{r} \right) \hat{r}_0$. Найти объемную плотность заряда в обеих областях.

3.29. Найти ЭДС, изодиому в проводящем стержне, движущимся

шемся в постоянном магнитном поле $\bar{B} = 0,04 \bar{B}_0$ Т со скоростью $\bar{v} = 2,5 \sin 10^3 t \cdot \bar{z}_0$. Длина стержня $l = 0,2$ м (рис. 3.9).

3.30. Поле вектора электрического смещения в сферической системе координат задано выражением $\bar{D} = \frac{10}{r^2} [1 - e^{2r} (1 + 2r + 2r^2)] \hat{r}_0$. Найти объемную плотность заряда ρ , создающего данное поле.

3.31. В среде с параметрами $\sigma = 5$ См/м и $\epsilon = 1$ напряженность электрического поля $E = 250 \sin 10^9 t$ В/м. Найти плотности токов проводимости и смещения и частоту, на которой они равны.

4. ГРАНИЧНЫЕ УСЛОВИЯ

Границные условия – это форма уравнений Максвелла для точек, принадлежащих граничной поверхности, в которых параметры среды меняются скачком или существуют пограничные токи либо заряды. В этих точках уравнения Максвелла в дифференциальной форме теряют смысл и должны быть дополнены условиями, определяющими поведение векторов поля при переходе через границу сред.

Границевые условия получаются из интегральных уравнений Максвелла с использованием предельных переходов. Исходя из первого уравнения Максвелла, определяющего циркуляцию напряженности магнитного поля:

$$\oint \bar{H} d\bar{l} = \int_S \bar{B} d\bar{s} + \frac{\partial}{\partial t} \int_S \bar{D} d\bar{s}, \quad (4.1)$$

получают граничные условия для касательных составляющих вектора \bar{H} :

$$[\bar{n}_0 (\bar{H}_1 - \bar{H}_2)] = \bar{\delta}_t \text{ или } \bar{H}_{t1} - \bar{H}_{t2} = [\bar{\delta}_t \cdot \bar{n}_0], \quad (4.2)$$

где \bar{n}_0 – единичный вектор нормали к поверхности раздела, направленный в первую среду.

Это означает, что разность между касательными составляющими вектора \bar{H}_t на границе равна пограничному току. При отсутствии последнего

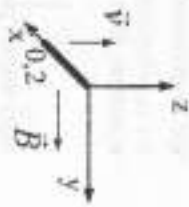


Рис. 3.9

т.е. составляющие непрерывны.

Исходы из второго уравнения Максвелла, определенного широким напряжением электрического поля:

$$\oint \vec{E} d\vec{l} = -\frac{\partial}{\partial r} \int \vec{B} d\vec{s}, \quad (4.4)$$

получают граничные условия для касательных составляющих напряженности электрического поля:

$$[\bar{n}_0(\bar{E}_1 - \bar{E}_2)] = 0 \text{ или } \bar{E}_{z1} = \bar{E}_{z2}, \quad (4.5)$$

которые на границе раздела сред непрерывны.

Третье уравнение Максвелла, определяющее поток вектора электрического смещения:

$$\oint \bar{D} d\bar{s} = \int \rho dV, \quad (4.6)$$

позволяет получать граничные условия для нормальных компонент вектора \bar{D} :

$$\bar{n}_0(\bar{D}_1 - \bar{D}_2) = \rho_s \text{ или } D_{n1} - D_{n2} = \rho_s. \quad (4.7)$$

Аналогично из четвертого уравнения Максвелла о потоке вектора магнитной индукции

$$\oint \bar{B} d\bar{s} = 0 \quad (4.8)$$

получаются граничные условия для нормальных составляющих вектора \bar{B} :

$$\bar{n}_0(\bar{B}_1 - \bar{B}_2) = 0 \text{ или } B_{n1} = B_{n2}. \quad (4.9)$$

Записанные выше граничные условия являются основными, они получаются непосредственно из уравнений Максвелла. Граничные условия для составляющих H_0 , E_0 , B_0 и D_0 получают, используя соотношения (4.2), (4.5), (4.7), (4.9) и материальные уравнения состояния среды при отсутствии поверхностных токов или зарядов:

$$\bar{D} = \varepsilon_0 \bar{E}, \quad \bar{B} = \mu_0 \bar{H}. \quad (4.10)$$

Задачи

- 4.1. По границе раздела сред протекает ток \bar{J}_s . В первой среде $\bar{H}_1 = 0$. Определить магнитное поле во второй среде близко к поверхности.

4.2. По плоской поверхности раздела металлический проводник течет поверхностью ток $\bar{J}_s = -y \bar{x}_0 + x \bar{y}_0$. Найти уравнение силовых линий вектора \bar{H}_r .

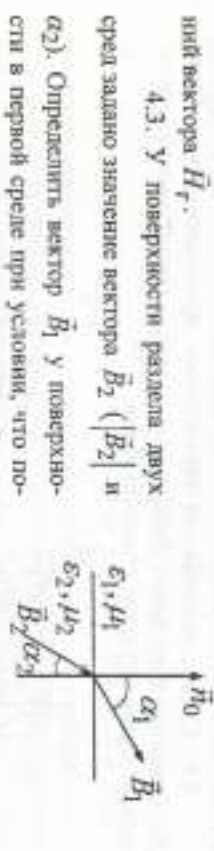


Рис. 4.1

4.4. У поверхности раздела двух сред задано значение вектора \bar{B}_2 ($|\bar{B}_2|$ и \bar{B}_2/α_2).

4.5. Определить вектор \bar{E}_1 у поверхности в первой среде, если на границе раздела отсутствуют свободные заряды ($\rho_s = 0$) (рис. 4.2).

4.6. На каком рисунке (рис. 4.3, а, б, в) изображены силовые линии электрического поля, магнитного поля, если вторая среда — идеальный проводник?



Рис. 4.3

4.7. У поверхности идеального проводника, совпадающей с плоскостью XOY, задан электрический потенциал $\varphi = -Az$. Определить поверхность плотность заряда, если среда над проводником — вакуум.

4.8. Определить, по какому закону пропорциональны силовые линии.

ни вектора \vec{B} при переходе из среды с параметрами ϵ_0, μ_0 в среду с параметрами ϵ_a, μ_a . Показать, что склонные линии на входе и выходе плоскогоризонтальной границы параллельны (рис. 4.4).

4.9. Среди различаются магнитными проницаемостями (рис. 4.5). Какая из сред имеет большую магнитную проницаемость, если склонные линии идут, как показано на рис. 4.5?

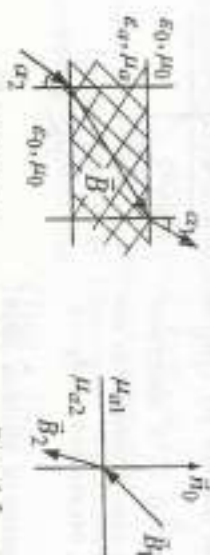


Рис. 4.4

4.10. Среди с плоской границей раздела различаются диэлектрическими проницаемостями, угол преломления $\phi_2 = \pi/2$ (рис. 4.6). Какое соотношение при этом должно выполняться между ϵ_{a1} и ϵ_{a2} ?

4.11. У поверхности цилиндрического проводника в плоскости XOY задано магнитное поле $\vec{H} = 3\vec{j}_0$ А/м (рис. 4.7), чему равен ток, протекающий по участку поверхности XOY в виде ленты, расположенной по оси X, ширина которой $I = 0.2$ м?



Рис. 4.7

4.12. Определить напряженность электрического поля на расстоянии h от бесконечной заряженной плоскости. Плотность поверхностиного заряда ρ_s .

4.13. Показать, что на поверхности раздела двух проводников линии тока испытывают преломление по закону $\frac{tg \alpha_1}{tg \alpha_2} = \frac{\sigma_1}{\sigma_2}$, где α_1 ,

α_2 – углы между линиями тока и нормалью к поверхности раздела \vec{n}_0 .

а σ_1, σ_2 – проводимости сред.

Показать, что на поверхности раздела двух диэлектриков линии вектора \vec{D} преломляются по закону $\frac{tg \alpha_1}{tg \alpha_2} = \frac{\epsilon_1}{\epsilon_2}$.

4.14. По бесконечной плоскости XOY течет ток с плотностью $\vec{j}_0 = \delta_1 \vec{y}_0$. Считая плоскость бесконечно тонкой, определить напряженность магнитного поля в точке, отстоящей от нее на расстояния h .

4.15. Плоский конденсатор заполнен двухслойным диэлектриком. Диэлектрическая проницаемость первого слоя $\epsilon_{a1} = 2\epsilon_0$, удельная проводимость $\sigma_1 = 10^4$ См/м. Для второго слоя – $\epsilon_{a2} = 4\epsilon_0$, $\sigma_2 = 10^7$ См/м. Толщина слоев $d_1 = 2 d_2 = 4$ см. Разность потенциалов между обкладками $U = 100$ В. Найти поверхностную плотность заряда ρ_s на границе раздела диэлектриков и установившемся режиме ее плотность тока проводимости. При каких параметрах диэлектриков $\rho_s = 0$? Поле считать однородным.

4.16. Цилиндр радиусом a , заряженный равномерно с поверхностной плотностью ρ_s , вращается вокруг оси со скоростью ω . Вычислить напряженность магнитного поля у поверхности цилиндра, если

$$a = 10 \text{ см}; \omega = 8\pi \text{ 1/с}; \rho_s = 10^{-7} \text{ Кл/м}^2.$$

4.17. На границе раздела двух сред ($\epsilon_1 = 2; \epsilon_2 = 5$) известен вектор $\vec{E}_1 = 2\vec{x}_0 - 3\vec{y}_0 + 5\vec{z}_0$ В/м. Найти вектор \vec{D}_2 и углы α_1 и α_2 , если $\rho_s = 0$ (рис. 4.8).

4.18. В области 1 задан вектор $\vec{H}_1 = 4\vec{x}_0 + 3\vec{y}_0 - 6\vec{z}_0$ А/м. Найти $|\vec{H}_2|$ и α_2 при условии, что поверхностный ток отсутствует, $\mu_1 = 3$; $\mu_2 = 5$ (рис. 4.9).

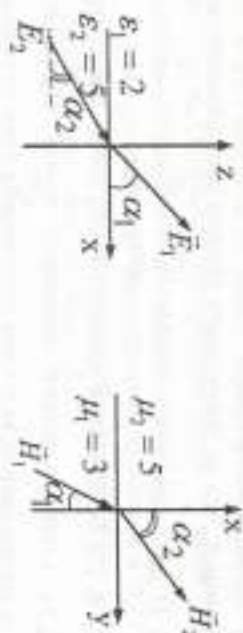


Рис. 4.8

4.19. В области 1 ($z < 0$) известен вектор $\bar{E}_1 = -3\bar{x}_0 + 4\bar{y}_0 - 2\bar{z}_0$ В/м; $\varepsilon_1 = 6$. Найти \bar{E}_2 в области 2 ($z > 0$), если $\varepsilon_2 = 2$, а поверх-

ностная плотность заряда на границе раздела $\rho_s = 0$.

4.20. В области 1 ($z < 0$) $\mu_1 = 3$, а вектор

$$\bar{H}_1 = \frac{1}{\mu_0} (0,2\bar{x}_0 + 0,5\bar{y}_0 + \bar{z}_0) \text{ А/м} \quad (\text{рис. 4.10}). \text{ Найти } \mu_2, \bar{H}_2, \text{ если}$$

$$\alpha_2 = 45^\circ, \bar{\delta}_s = 0.$$

4.21. По поверхности раздела двух сред ($z = 0$) течет ток с по-
верхностной плотностью $\bar{\delta}_s = 9\bar{y}_0$ (рис. 4.11). Известен вектор

$$\bar{H}_1 = 14,5\bar{x}_0 + 8\bar{z}_0 \text{ А/м}, \text{ если } \mu_1 = 4; \mu_2 = 3.$$

4.22. В плоскости $x = 0$ течет поверхностный ток с плотностью δ_s (рис. 4.12). В области 1 ($x < 0$) вектор $\bar{B}_1 = 6\bar{x}_0 + 4\bar{y}_0 + 10\bar{z}_0$ Т, $\mu_{01} = 2\mu_0$. В области 2 ($x > 0$) $-\bar{B}_2 = 6\bar{x}_0 - 50,96\bar{y}_0 + 8,96\bar{z}_0$ Т, $\mu_{02} = 7\mu_0$. Найти $\bar{\delta}_s$.

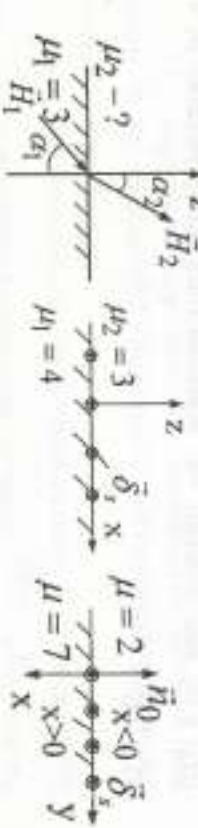


Рис. 4.10

Рис. 4.11

Рис. 4.12

+ 6 \bar{z}_0 Кл/м² (рис. 4.13). Найти вектор \bar{E}_2 и углы θ_1 и θ_2 , если во вто-

рой среде $\varepsilon_2 = 2,4$, а поверхностная плотность заряда на границе разде-
ла равна 0.

4.24. В свободном пространстве 1 напряженность электрическо-
го поля $\bar{E}_1 = 3\bar{x}_0 - 5\bar{y}_0 + 3\bar{z}_0$ В/м. Область 2 – диэлектрик с $\varepsilon_2 = 3,6$
(рис. 4.14). Найти угол θ_2 , если $\rho_s = 0$.

4.25. В области 1 ($z < 0$) с $\varepsilon_1 = 2$ напряженность электрического
поля $\bar{E}_1 = -3\bar{x}_0 + 4\bar{y}_0 - 2\bar{z}_0$ В/м (рис. 4.15). Найти напряженность
электрического поля в области 2 ($z > 0$) с $\varepsilon_2 = 8$, если $\rho_s = 0$.

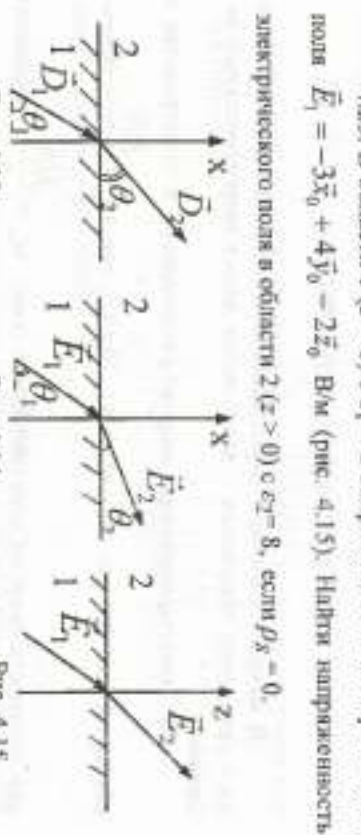


Рис. 4.13

Рис. 4.14

Рис. 4.15

4.26. На границе раздела двух сред ($\varepsilon_1 = 2; \varepsilon_2 = 5$) известна па-
раллельность электрического поля $\bar{E}_1 = 2\bar{x}_0 - 3\bar{y}_0 + 5\bar{z}_0$ В/м (рис.

4.16). Найти \bar{D}_2 , θ_1 и θ_2 , если $\rho_s = 0$.

4.27. В области 1 ($\mu_1 = 15$) (рис. 4.17) задан вектор
 $\bar{B}_1 = 1,2\bar{x}_0 + 0,8\bar{y}_0 + 0,4\bar{z}_0$ Т. Найти вектор \bar{H}_2 во 2-й области (μ_2
= 1) и углы α_1 и α_2 .

4.28. На границе раздела двух сред (ε_1 и ε_2) силовые линии
электрического поля образуют угол ϕ_1 с направлением нормали к гра-
нице раздела (рис. 4.18). Найти ориентацию силовых линий \bar{E}_2 во
второй среде (ε_2), если $\rho_s = 0$.

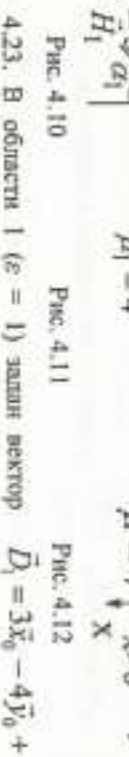


Рис. 4.17

Рис. 4.18

Рис. 4.19

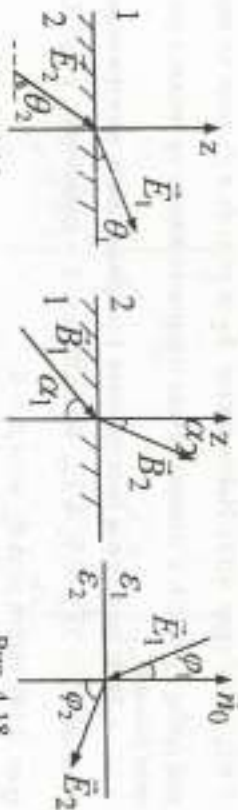


Рис. 4.16

Рис. 4.17

Рис. 4.18

5. ТЕОРЕМА ПОЙНТИНГА.

В макроскопической электродинамике система основных уравнений – уравнения Максвелла – дополняется двумя энергетическими аксиомами:

- 1) электромагнитная энергия распределена в пространстве с объемной плотностью $w = w_s + w_u$. Доказ³, где $w_s = \frac{\bar{E}\bar{D}}{2}$ – объемная плотность энергии электрического поля; $w_u = \frac{\bar{H}\bar{B}}{2}$ – объемная плотность энергии магнитного поля;

2) величина и направление потока электромагнитной энергии характеризуется вектором Пойнтинга $\bar{P} = [\bar{E}\bar{H}]$.

С учетом этого закон сохранения энергии для электромагнитных процессов, происходящих в некотором объеме V , ограниченном поверхностью S (теорема Пойнтинга), имеет следующий вид:

$$P_{\text{ен}} = P_{\text{нов}} + \frac{dW}{dt} + P_{\perp},$$

где $P_{\text{ен}} = - \int \bar{E} \delta_{\text{ен}} dV$ – мощность сторонних сил; $P_{\text{нов}} = \int \bar{E} \delta dV$ –

мощность тепловых потерь; $W = \int_V \delta dV$ – электромагнитная энергия, запасенная в объеме V ; $P_{\perp} = \oint_S \bar{P} dS$ – мощность, переносимая электромагнитным полем через поверхность S ; $dS = \bar{n}_0 dS$ – вектор, по-

направлено соударящий с единицей нормалью; \bar{n}_0 – внешняя нормаль к поверхности S .

Таким образом, теорема Пойнтинга утверждает, что мощность, выделяемая в объеме V , расходуется на тепловые потери, изменение электромагнитной энергии и излучение за пределы объема.

Отметим, что слагаемые dW/dt и P_{\perp} могут быть как положительными, так и отрицательными; $P_{\text{ен}}$ и $P_{\text{нов}}$ всегда положительны.

Для полей, записанных в виде комплексных амплитуд, вводится комплексный вектор Пойнтинга $\bar{P} = \frac{1}{2} [\bar{E} \bar{H}^*]$. Среднее значение вектора Пойнтинга

$$\bar{P}_{\text{ср}} = \frac{1}{T} \int_0^T \bar{P} dt = \frac{1}{2} \operatorname{Re} [\bar{E} \bar{H}^*],$$

где T – период колебаний.

Задачи

5.1. Вычислить энергию, запасенную в плоском конденсаторе. Разность потенциалов между пластинами U , площадь S , расстояние между пластинами d . Поле считать однородным. Вывести формулу для ёмкости конденсатора. Диэлектрическая проницаемость диэлектрика ϵ_r .

5.2. Определить, с какой стороны к линии подключения генератора и нагрузки. Объяснить полученный результат (рис. 5.1).

5.3. Двухпроводная линия проходит через отверстия в идеально проводящем экране. Построить силовые линии вектора Пойнтинга вблизи экрана (рис. 5.2).

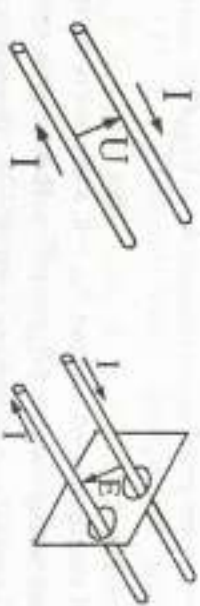


Рис. 5.1

Рис. 5.2

5.4. Какого радиуса должны быть пластины плоского конденса-

тора, чтобы запасенная в нем энергия равнялась 0,5 Дж? Конденсатор заряжен по напряжению 10^3 В, расстояние между пластинами $d = 2$ мм, $\varepsilon_0 = 18\epsilon_0$.

5.5. По прямолинейному бесконечному проводнику радиусом a течет постоянный ток, плотность которого \bar{J} . Проводник находится в вакууме. Чему равна плотность энергии магнитного поля на расстоянии $2a$ от оси проводника? Построить зависимость $W_u = W(a)$.

5.6. Магнитная и электрическая составляющие поля электромагнитной волны заданы формулами:

$$\begin{aligned}\bar{H} &= H_0 e^{(i\omega t - kx)} \frac{\vec{x}_0}{2}, \\ \bar{E} &= -120\pi H_0 e^{(i\omega t - kx)} \vec{x}_0.\end{aligned}$$

Записать выражение для мгновенного значения вектора Пойнтинга и найти его среднее значение, если $H_0 = 2$ А/м.

5.7. Плоский конденсатор подключается к источнику ЭДС величиной ε . Определить направление вектора Пойнтинга в точках 1, 2, 3, 4 в процессе зарядки (рис. 5.3).

5.8. По плоскому проводнику радиусом a , длиной l проходит ток с объемной плотностью $\bar{\sigma}$. Продольность материала проводника σ . Определить вектор Пойнтинга у поверхности проводника и его поток через эту поверхность. Объяснить полученный результат (рис. 5.4).

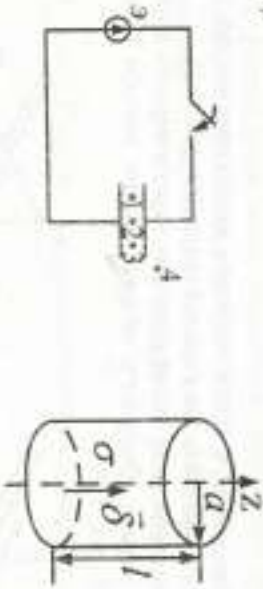


Рис. 5.4

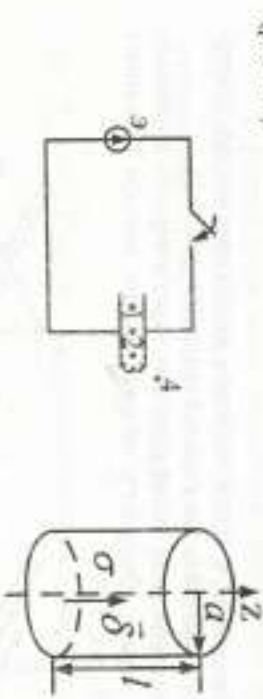


Рис. 5.3

5.9. В изолированной системе $P_{\text{ст}} = 0$, в мощность потерь пропорциональна запасу энергии ($P_{\text{пот}} = \alpha W$). Найти закон изменения энергии во времени, с учетом, что при $t = 0$ $W = W_0$. Построить зависимость $W(t)$.

5.10. Внутри области происходит преобразование энергиисто-

роящих слоев в электромагнитную, однако поток вектора Пойнтинга через границу области отрицателен. Описать возможные варианты баланса энергии.

5.11. Воздух начинает ионизироваться при напряженности электрического поля $E_{\text{кр}} = 3$ кВ/мм. Определить плотность потока монодиэлектрических плоских электромагнитных волн, при которой наступает ионизация. Частота колебаний достаточно мала для того, чтобы считать процесс ионизации бессинергетичным.

5.12. Показать с помощью вектора Пойнтинга, что вся энергия, передаваемая от источника к нагрузке в единицу времени по коаксиальному кабелю, каналируется по диэлектрику. Продолжимость материала жилы и оболочки принять бесконечно большой.

5.13. Определить тангенс угла, составляемого вектором напряженности электрического поля с нормально к поверхности жилы coaxialного кабеля. Жила и внешний проводник выполнены из меди ($\sigma = 5,8 \cdot 10^7$ См/м), имеют радиусы $r_1 = 0,3$ см, $r_2 = 1$ см. Напряжение U между жилой и оболочкой 10 кВ. Протекающий по кабелю постоянный ток $I = 50$ А.

5.14. Существует ли разница между значениями вектора \bar{H} для электромагнитных полей, поляризованных по кругу и линейно поляризованных, если амплитуды \bar{E} и \bar{H} для них равны? Результаты связать с принципом суперпозиции для энергий, учитывая, что поля, поляризованные по кругу, есть сумма двух линейно поляризованных волн.

5.15. В плоском конденсаторе с размерами сторон 0,5 м и 1,0 м и расстоянием между пластинами 2 см разность потенциалов $U = 10$ В. Найти запасенную в конденсаторе энергию и ее ёмкость, если $\varepsilon_0 = 2\varepsilon_0$.

5.16. Вектор \bar{E} в декартовой системе координат имеет единственную составляющую E_x , отличную от нуля. Показать, что вектор Пойнтинга не может иметь составляющую вдоль оси x .

5.17. В некоторой точке пространства заданы векторы $\bar{E} = 2\bar{y}_0$ В/м и $\bar{H} = 4\bar{x}_0 + 6\bar{z}_0$ Вт/м². Определить вектор \bar{H} в этой точке.

5.18. Напряженность электрического поля распространяющейся в полистироле ($\varepsilon = 2,25$) волны $E = 50$ мВ/м. Определить вектор Пойнтинга этой волны.

5.19. Комплексные амплитуды векторов электромагнитного по-

ли в некоторой точке пространства заданы выражениями:

$$\vec{E} = 0,85 \cdot e^{j0,5} \vec{x}_0 - 1,3 \cdot e^{-j0,7} \vec{y}_0;$$

$$\vec{H} = 4,2 \cdot 10^{-3} e^{-j1,2} \vec{z}_0.$$

Определить комплексный вектор Пойнтинга \vec{P} и его среднее значение \bar{P}_q .

5.20. В свободном пространстве в направлении оси z распространяется плоская волна с напряженностью электрического поля $\vec{E}(z, t) = 50 \cos(\omega t - kz)$ В/м. Найти среднее значение вектора Пойнтинга и его поток через полушару радиусом 2,5 м, лежащую в плоскости $z = \text{const}$ (\perp к оси z).

5.21. Среднее значение вектора Пойнтинга в процессе распространения электромагнитной волны на расстоянии $z = 2$ м уменьшается на 10 %. Определить коэффициент затухания волны.

5.22. Заряженный цилиндр с поверхностной плотностью ρ_s вращается с постоянной угловой скоростью ω вокруг своей оси. Изобразить спиральные линии Пойнтинга у поверхности цилиндра.

5.23. Измерения световой энергии показали, что через каждый квадратный сантиметр поверхности, перпендикулярной к солнечным лучам, проходит 1 Вт/с. Считая поток параллельных лучей плоской электромагнитной волной, определить напряженности электрического и магнитного полей.

6. ЭЛЕКТРОСТАТИЧЕСКОЕ ПОЛЕ

Основные уравнения и определения электростатического поля

Система уравнений электростатики – частный случай системы

уравнений Максвелла, когда $\partial/\partial t = 0$:

$$\int_L \vec{E} d\vec{l} = 0; \quad \int_S \vec{D} d\vec{s} = \int_V \rho dV;$$

$$rot \vec{E} = 0; \quad div \vec{D} = \rho.$$

Для описания электростатического поля вводится скалярная функция – потенциал φ . Напряженность электрического поля связана с потенциалом зависимостью $\vec{E} = -grad \varphi$.

Введенная таким образом потенциал неоднозначна и не имеет

физического смысла. Знак «+» показывает, что электрическое поле направлено из области положительного потенциала в область отрицательного потенциала.

Разность потенциалов между двумя точками численно равна работе по перемещению единичного положительного заряда между ними.

$$\varphi_1 - \varphi_2 = \int_1^2 \vec{E} d\vec{l}.$$

Эта величина не зависит от пути, по которому перемещается заряд.

Как следует из вышеизложенных формул, значение разности потенциалов является точным лишь для полей, не зависящих от времени.

Для точечного заряда $\varphi = \frac{q}{4\pi\epsilon_0 r}$, $\vec{E} = \frac{q}{4\pi\epsilon_0 r^2} \vec{r}_0$, где r – расстояние от заряда до точки наблюдения.

Для линейно распределенного заряда $\varphi = \frac{1}{4\pi\epsilon_0} \int_L \frac{rdl}{r}$; для зарядов, распределенных по поверхности и объему, – $\varphi = \frac{1}{4\pi\epsilon_0} \int_S \frac{\rho_s ds}{r} + \int_V \frac{\rho dv}{r}$ соответственно. В этих формулах τ , ρ_s и ρ – линей-

ные, поверхностная и объемная плотность зарядов.
Сила, действующая на заряд q , $\vec{F} = q\vec{E}$.

Границные условия электростатики у поверхности проводника:
 $\frac{\partial \varphi}{\partial \tau} = 0; \quad \frac{\partial \varphi}{\partial n_g} = -\frac{\rho_s}{\sigma_d}$.

Это означает, что поверхность проводника в электростатическом поле является изопотенциальной.

Энергия электростатического поля

$$W_s = \frac{1}{2} \int_{\sigma_d} E^2 dV = \frac{1}{2} \int_V \rho \varphi dV$$
, где V – полный объем, ψ – объем, занятый зарядами, φ – потенциал относительно бесконечно удаленной точки.

Емкость заряженного тела определяется как коэффициент пропорциональности между его потенциалом относительно бесконечности и зарядом, суперпозиционным на этом теле: $q = C\varphi$.

Конденсатор представляет собой систему двух проводников,несущих равные по величине и противоположные по знаку заряды. Его емкость $C = \frac{|q|}{|\Delta\varphi|}$, где q – величина заряда одного из тел; $\Delta\varphi$ – разность потенциалов между ними.

В ряде электростатических задач для нахождения распределения зарядов, созданных в пространстве потенциал φ , полезно использовать уравнение Пуассона $\nabla^2\varphi = -\frac{\rho}{\epsilon_0}$ и уравнение Лапласа $\nabla^2\varphi = 0$.

Задачи

6.1. Потенциал некоторой области $\varphi = \sum_{n=1}^k A_n \sin m\vartheta \sin n\varphi$. Является ли данная функция решением уравнения Пуассона?

6.2. На внутренней сфере расположены заряды $+q$. Вычислить поверхностную плотность заряда и подавленный заряд внешней сферы, заполненной из идеального проводника (рис. 6.1).

6.3. Определить радиус уединенной сферы емкостью 1 Ф. Среда – вакуум.

6.4. Заряд с объемной плотностью $\rho = \rho_0 r/a$ распределен в объеме шара радиусом a . Определить закон изменения напряженности и индукции электрического поля внутри и вне шара. Списать поведение векторов \vec{E} и \vec{D} при переходе границы шара – воздух. Вычислить энергию электрического поля, создаваемую заряженным шаром. Дизлектрическая проницаемость материала шара ϵ_d ; среды – ϵ_0 .

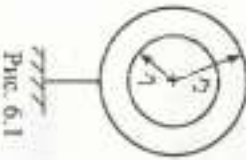


Рис. 6.1

6.5. Определить емкость, разность потенциалов между обкладками, напряженность поля и индукцию в дизлектриках, загибающих двухслойный планиграфический конденсатор. На единицу длины конденсатора приходится заряд q (рис. 6.3). Дизлектрические проницаемости слоев ϵ_{d1} и ϵ_{d2} :



Рис. 6.2

6.7. Положительный заряд равномерно распределен по кольцевой линии радиусом a . Дизлектрическая проницаемость среды ϵ_0 . Найти плотность заряда τ . Найти потенциал и напряженность поля в точках, лежащих на оси колца. Построить $E(z)$ и $\varphi(z)$ (рис. 6.4).

6.8. Положительный заряд q равномерно распределен на бесконечном круглом диске радиусом a . Найти потенциал и напряженность электрического поля \vec{E} и потенциал φ точек, лежащих на оси z , нормальной к диску и проходящей через ее центр (рис. 6.5). Дизлектрическая проницаемость среды ϵ_0 .

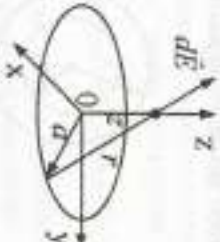


Рис. 6.4

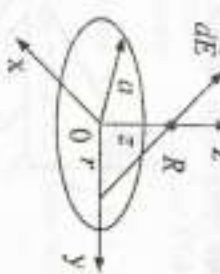


Рис. 6.5

6.9. В поле заряженного шара найти радиусы эквипотенциальных поверхностей, потенциалы которых отличаются друг от друга на 10 В; $r_m = 1$ м; $q = 8,89 \cdot 10^{-11}$ Кл. Шар находится в воздухе.

6.10. Используя теорему Гаусса, показать, что напряженность электрического поля на расстоянии r от бесконечного тонкого провода $E_r = \tau / 2\pi\epsilon_0 r$, где τ – линейная плотность заряда q (рис. 6.2).

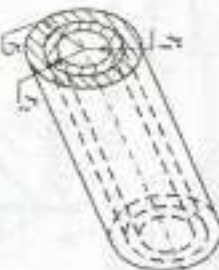


Рис. 6.3



Рис. 6.6
Найти $D(r)$, $E(r)$, $\varphi(r)$. Построить графики полей.

6.11. Объемный заряд с плотностью ρ равномерно распределен между двумя концентрическими сферическими поверхностями. Радиус внешней поверхности b , радиус внутренней поверхности a . Диэлектрическая проницаемость среды между сферическими поверхностями ϵ_0 , окружающей среды — ϵ_0' (рис. 6.6).

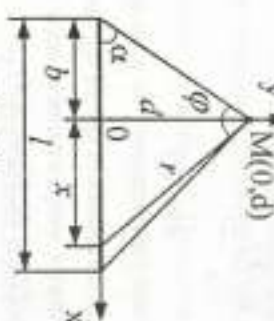


Рис. 6.7

6.12. Вдоль прямолинейного отрезка длиной l распределен заряд с линейной плотностью τ . Найти потенциал поля в точке M , отстоящей на расстоянии d от заряженной линии. Диэлектрическая проницаемость среды ϵ_0 (рис. 6.7).

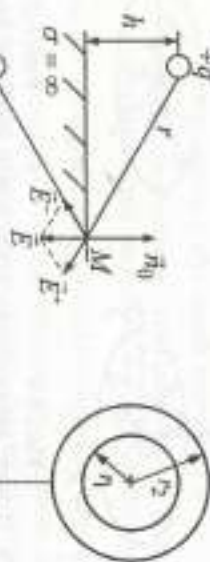


Рис. 6.8

6.13. Точечный заряд q находится на расстоянии h от бесконечно проводящей плоскости. Определить плотность электрического заряда, образованного в различных точках плоскости вследствие электростатической индукции (рис. 6.8).

6.14. Определить величину заряда сферического конденсатора, при котором будет обеспечен трехкратный запас по пробивному напряжению диэлектрик — воздух. Напряженность поля в волухе, при которой проходит пробой, равна 3000 В/мм. Радиусы сфер r_1 и r_2 (рис. 6.9).

6.15. Металлический шар радиусом 0,2 м несет на себе заряд $q = -6 \cdot 10^{-5}$ Кл. Диэлектрическая проницаемость среды $\epsilon_0 = 3\epsilon_0$. Подсчитать энергию электрического поля.

6.16. Найти распределение зарядов $\rho(r)$, создавших в вакууме потенциал $\varphi = q \frac{\exp(-r/a)}{r}$. Указание: использовать уравнение Пуассона.

6.17. Вычислить энергию равномерно заряженного шара радиусом a . Диэлектрическая проницаемость шара ϵ_0 , заряд q , окружающая среда — вакуум.

6.18. Вынести формулы для определения напряженности поля и емкости двухслойного плоского конденсатора, и также построить графики изменения модуля векторов напряженности электрического поля, модуля вектора электрической индукции \bar{D} в потенциалах φ в функции расстояния x . Толщина первого слоя диэлектрика d_1 , второго — d_2 . Диэлектрическая проницаемость между обкладками конденсатора равна ϵ . Площадь пластин конденсатора — S (рис. 6.10).

6.19. Заряд равномерно с линейной плотностью $\tau = 10^{-9}$ Кл/м распределен по периметру квадрата со стороной 6 м (рис. 6.11). $\epsilon_0 = \epsilon_0'$. Найти потенциал в точке $(0,0,5)$ м.

6.20. Полный заряд круглого равномерно заряженного диска радиусом 2 м равен 40 нКл. Найти потенциал в точке на оси

$\frac{3}{3}$ диска ($0,0,2$ м). Найти потенциал в этой же точке, если весь заряд сконцентрирован в начале координат.

6.21. В кубе с размером стороны, равным 1 м, задан потенциал $\varphi = 3x^2 + 4y^2$ (В). $\epsilon_0 = \epsilon_0'$. Найти энергию, запасенную в кубе.

6.22. В воздушном пространстве между coaxialными цилиндрическими поверхностями радиусами $r_1 = 0,01$ м и $r_2 = 0,05$ м электрическое поле $\bar{E} = \left(\frac{10^3}{r} \right) \vec{E}_0$. Найти энергию, сосредоточенную между



Рис. 6.10

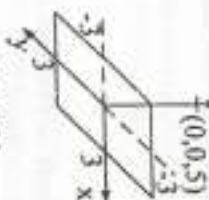


Рис. 6.11

этими цилиндрами высотой 0,5 м.

- 6.23. Положительный заряд q равномерно распределен по объему шара радиусом a . Найти напряженность электрического поля \vec{E} и потенциал ϕ внутри и вне шара. Дизэлектрическая проницаемость материала шара и среды ϵ_0 .

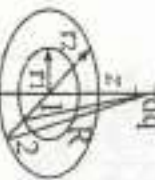


Рис. 6.12

- 6.24. Определить емкость и электрическую энергию поля плоского конденсатора с площадью обкладок $S = 100 \text{ см}^2$ и расстоянием между ними $d = 1 \text{ мм}$. Конденсатор заряжен до напряжения $U = 400 \text{ В}$ и заполнен диэлектриком с $\epsilon_0 = 3\epsilon_0$. Краевым эффектом пренебречь.

- 6.25. Нить длиной $2L$ равномерно заряжена с линейной плотностью τ . Точки 1 и 2 лежат в плоскости, перпендикулярной к нити и проходящей через ее середину (рис. 6.12). Найти разность потенциалов ϕ_{12} , если $L \gg r_1, L \gg r_2, \epsilon_0 = \epsilon_0$.

- 6.26. Шар радиусом a с центром в начале сферической системы координат имеет потенциал:

$$\phi = \begin{cases} \phi_0 & \text{при } r \leq a, \\ \frac{\phi_0 a}{r} & \text{при } r > a. \end{cases}$$

- Составить выражение для запасенной энергии и полного заряда на поверхности шара.

- 6.27. Вывести выражение для напряженности электрического поля \vec{E} , созданного бесконечной равномерно заряженной плоскостью с поверхностной плотностью ρ_s , на оси z (рис. 6.13). $\epsilon_0 = \epsilon_0$.

- 6.28. На поверхности концентрических цилиндрических проводников радиусами $r_1 = 1 \text{ мм}$ и $r_2 = 20 \text{ мм}$ потенциалы соответственно равны $\phi_1 = 75 \text{ В}$, $\phi_2 = 0 \text{ В}$. Используя уравнение Лапласа, определить вектор электрического смещения и

пространстве между проводниками, если $\epsilon = 3\epsilon_0$.

- 6.29. В лекартовой системе координат потенциал ϕ зависит только от x . При $x = -2 \text{ см}$ $\phi = 25.0 \text{ В}$, $\vec{E} = 1.5 \cdot 10^3 (-\vec{x}_0)$ В/м. Используя уравнение Лапласа, найти ϕ при $x = 3 \text{ см}$.

- 6.30. Найти зависимость потенциала ϕ и напряженности электрического поля \vec{E} от расстояния r в пространстве между двумя концентрическими цилиндрами, если при $r_1 = 1 \text{ мм}$ $\phi_1 = 0$, а при $r_2 = 20 \text{ мм}$ $\phi_2 = 150 \text{ В}$ (рис. 6.14). Краевой эффект не учитывать. Указание: использовать уравнение Лапласа.

- 6.31. В лекартовой системе координат потенциал ϕ на плоскости $z = 3 \text{ см}$, $\phi = 0$. Найти поверхностную плотность заряда плоскости $z = 0$, если напряженность поля между плоскостями $\vec{E} = 6.67 \cdot 10^3 \vec{z}_0$ В/м, а $\epsilon = 4.5$.

- 6.32. В сферической системе координат потенциал зависит только от r . При $r = 15 \text{ мм}$ $\phi = 0 \text{ В}$, а при $r = 110 \text{ мм}$ $\vec{E} = -334.7 \vec{r}_0$ В/м. Используя уравнение Лапласа, найти потенциал ϕ при $r = 200 \text{ мм}$.

- 6.33. Воспользовавшись уравнением Лапласа, найти зависимость векторов \vec{E} и \vec{D} от расстояния r в пространстве между двумя сферическими концентрическими поверхностями, если известно, что при $r = 0.1 \text{ м}$ $\phi = 0$, при $r = 2 \text{ м}$ $\phi = 100 \text{ В}$, $\epsilon_0 = \epsilon_0$.

- 6.34. В заряженном цилиндре объемная плотность заряда $\rho = 5 \text{ г} \cdot \text{см}^{-3}$. Используя теорему Остроградского – Гаусса, найти $D(r)$.

- 6.35. Найти разность потенциалов между конусами с углами $\theta_1 = 30^\circ$ и $\theta_2 = 45^\circ$, если при $r = 0.25 \text{ м}$ и $\theta = 30^\circ$ напряженность поля $\vec{E} = -2.3 \cdot 10^3 \vec{\theta}_0$ В/м (рис. 6.15). Потенциал зависит только от θ . Указание: использовать уравнение Лапласа.

- 6.36. В пространстве между двумя круглыми концентрическими цилиндрами известна объемная плотность заряда $\rho(r)$. Используя уравнение Пуассона, записать выражение для потенциала

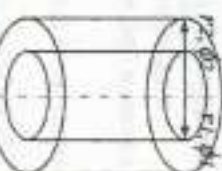


Рис. 6.14

Рис. 6.15

$\phi(r)$ с точностью до постоянных интегрирования A и B.

- 6.37. Найти зависимости $\bar{E}(r)$ и $\bar{D}(r)$ в пространстве между двумя сферическими концентрическими поверхностями, если при $r = 2$ см $\varphi = -2.5$ В, при $r = 3.5$ см $\varphi = 150$ В, $\varepsilon_0 = 3.12\epsilon_0$. Определить $r = 2$ см $\varphi = -2.5$ В, при $r = 3.5$ см $\varphi = 150$ В, $\varepsilon_0 = 3.12\epsilon_0$. Определить пограничную плотность заряда ρ_s на каждом проводнике.

- 6.38. Найти работу по перемещению точечного заряда $q = 3 \cdot 10^{-6}$ Кл из точки $(4m, \pi, 0)$ в точку $(2m, \pi/2, 2m)$ цилиндрической системы координат, если напряженность поля $\bar{E} = \left(\frac{10^5}{r}\right)\vec{r}_0 + 10^5 z \cdot \vec{z}_0$.

- 6.39. В свободном пространстве потенциал $\varphi = 2x + 4y$. Найти энергию кубического метра объема с вершиной куба в начале координат.

- 6.40. В области значений $0 \leq \psi \leq \frac{\pi}{6}$ цилиндрической системы координат известно распределение потенциала $\varphi = \left(-\frac{60\psi}{\pi}\right)B$. Найти энергию, запасенную в объеме, ограниченном $0.1 \leq r \leq 0.6$; $0 \leq z \leq 1$; $0 \leq \psi \leq \pi/6$.

- 6.41. Точечный заряд $q = 0.4$ нКл расположен в точке $(2, 3, 3)$ м в декартовой системе координат. Найти разность потенциалов между точками $A(2, 2, 3)$ м и $B(2, 3, 3)$ м.

- 6.42. Найти потенциал точки A ($r_A = 5$ м) относительно точки B ($r_B = 15$ м), созданный точечным зарядом $q = 500$ пКл, а также потенциал каждой точки относительно бесконечности.

- 6.43. В области значений $0 < r \leq 2.7$ м цилиндрической системы координат задан вектор напряженности электрического поля $\bar{E} = \left(\frac{5}{r}\right)\vec{r}_0$ В/м, а при $r > 2.7$ м $\bar{E} = 2.5\vec{r}_0$ В/м. Найти разность потенциалов между точками $A(1$ м, 0 , 0) и $B(4$ м, 0 , 0).

- 6.44. В сферической системе координат задано поле $\bar{E} = \left(-\frac{16}{r^2}\right)\vec{r}_0$ В/м. Найти разность потенциалов между точками A

$(2m, \pi, \pi/2)$ и $B(4m, 0, \pi)$ и потенциалы этих точек относительно бесконечности.

- 6.45. Расстояние l между двумя точечными зарядами $q_1 = q_2 = 2$ нКл и $q_2 = -3$ нКл, расположенным в вакууме, равно 20 см (рис. 6.16). Определить напряженность E и потенциал φ поля, созданного этими зарядами в точке A , удаленной от первого заряда на расстояние $r_1 = 15$ см и от второго заряда на $r_2 = 10$ см.

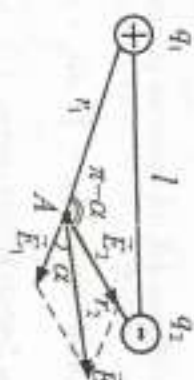


Рис. 6.16

- 6.46. В пространстве между двуми сферическими поверхностями задана объемная плотность заряда ρ . Используя уравнение Пуассона, записать выражение для вектора \bar{E} , если потенциал зависит только от r .

7. СТАЦИОНАРНОЕ МАГНИТНОЕ ПОЛЕ

Основные уравнения стационарного магнитного поля

$$\oint \bar{H} d\bar{l} = \int_S \bar{B} d\bar{s}; \quad rot \bar{H} = \bar{\delta};$$

$$\int_S \bar{B} d\bar{s} = 0; \quad div \bar{B} = 0; \quad \bar{B} = \mu_0 \bar{H}.$$

Закон Био - Савара $d\bar{H} = \frac{I[\bar{d}\bar{l}, \vec{r}_0]}{4\pi r^2}$, где I – линейный ток, $d\bar{l}$ –

длина элемента тока; r – расстояние от элемента тока до точки, в которой определяется $d\bar{H}$; \vec{r}_0 – единичный вектор, направленный от элемента тока к точке, в которой определяется $d\bar{H}$ (точка наблюдения). Магнитный поток через поверхность S , ограниченную контуром L :

$$\Phi = \int_S \bar{B} d\bar{s}.$$

Индуктивность витка с током, равным I :

$$L = \frac{\Phi}{I}.$$

Взаимная индукция двух витков с токами I_1 и I_2 :

$$M_{12} = \frac{\Phi_{12}}{I_2} = \frac{\Phi_{21}}{I_1} = M_{21},$$

где $\Phi_{12} = \int_{S_1} \bar{B}_2 d\bar{s}_1$ – поток вектора \bar{B}_2 , создаваемый током I_2 через первый контур; $\Phi_{21} = \int_{S_2} \bar{B}_1 d\bar{s}_2$ – поток вектора \bar{B}_1 , создаваемый током I_1 через второй контур.

Задачи

7.1. Рассчитать напряженность магнитного поля на оси круглого плоского витка радиусом a , по которому протекает ток I (рис. 7.1).

7.2. Рассчитать напряженность магнитного поля концентрического кабеля, приняв, что по центральному проводнику и оболочке текут одинаковые токи I в разных направлениях (рис. 7.2). Построить $H(r)$.

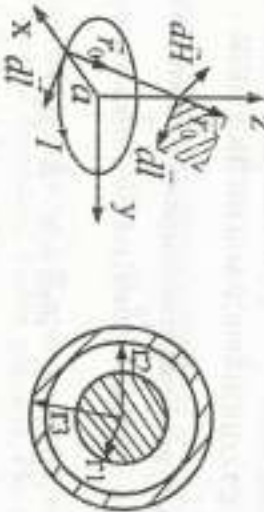


Рис. 7.1

7.3. Найти взаимную индуктивность двух витков (рис. 7.3, а, б, в).
 $r_2 > r_1$
 $I \gg r_1 \gg r_1$

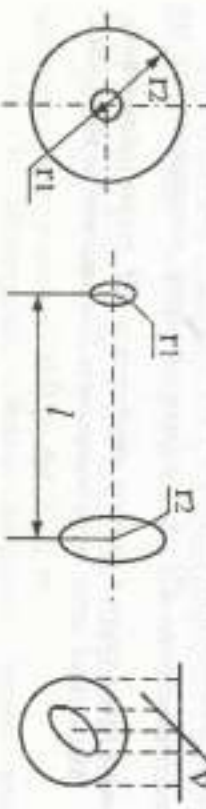


Рис. 7.3

7.4. Рассчитать напряженность магнитного поля шлангопроводной трубы, по которой протекает ток I (рис. 7.4). Построить $H(r)$.

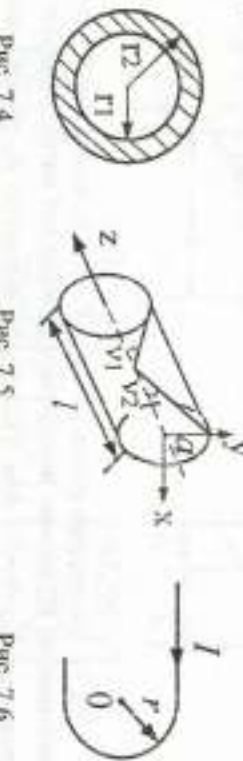


Рис. 7.5

7.5. Определить напряженность магнитного поля на оси длинного соленоида, содержащего N витков на единицу длины. Сила тока в соленоиде I , радиус витка a , длина $l \gg a$ (рис. 7.5).

7.6. Длинный провод согнут в форме спиральки, показанной на рисунке. Найти точное выражение для магнитного поля в точке 0 (рис. 7.6).

Рис. 7.6

7.7. Вычислить магнитную энергию, сосредоточенную внутри цилиндрического проводника единичной длины, по которому протекает ток I . Магнитная проницаемость проводника μ_D . Построить $H(r)$.

7.8. Три параллельных провода радиусом r расположены так, что расстояния между ними равны r_{12} , r_{23} , r_{13} . Определить погонную взаимную индуктивность M_{12} , M_{13} , т.е. петли 12 и петли 13 (рис. 7.7).

7.9. Определить взаимную индуктивность из ким длины двух параллельных двухпроводных линий передачи, провода которых расположены в углах квадрата со стороной l м.

7.10. Полый медный провод имеет радиусы r_1 и r_2 . Определить собственную индуктивность отрезка провода длиной l , полагая плотность тока одинаковой по всему сечению проводника (рис. 7.3).

7.11. Проволочная рамка в форме равнобедренной трапеции находится в воздухе в одной плоскости с длинным проводом, по которому течет ток I . Определить взаимную индуктивность между проводом и рамкой (рис. 7.8).

7.12. Определить индуктивность двухпроводной линии передачи длиной $l = 10$ км при расстоянии $d = 2$ м между проводами, считая, что по ним протекают равные токи в противоположных направлениях. Радиус проводов $r = 6$ мм.

7.13. Определить взаимную индуктивность треугольной петли и бесконечного одиночного проводника с током I (рис. 7.9).

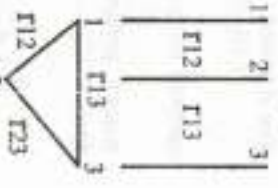


Рис. 7.7

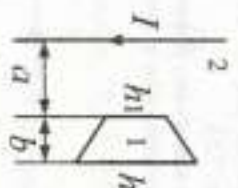


Рис. 7.8

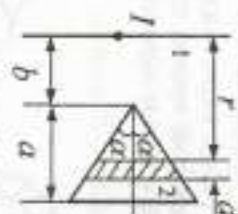


Рис. 7.9

7.14. Квадратная рамка с током $I = 0,2$ А, площадью $S = 9$ см², состоящая из 50 витков, находится в однородном магнитном поле напряженностью $H = 10$ А/м. Угол между нормалью \vec{n}_0 рамки и некоторым \vec{H} составляет 50° . Определить момент пары сил, действующих на рамку (рис. 7.10).

7.15. Определить взаимную индуктивность двухпроводной линии и рамки, лежащей в плоскости линии (рис. 7.11).

7.16. В цилиндрической системе координат зная вектор магнитной индукции $\vec{B} = \left(\frac{2}{r}\right)\vec{\varphi}_0$. Найти поток этого вектора через площадку, ограниченную координатами $0,5$ м $\leq r \leq 2,5$ м, $0 \leq z \leq 2$ м (рис. 7.12).

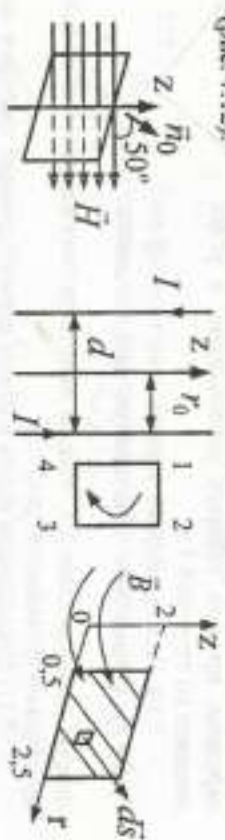


Рис. 7.10

Рис. 7.11

Рис. 7.12

7.17. Найти магнитный поток через площадку, ограниченную координатами $\varphi = \pi/4$; $0,01$ м $< r < 0,05$ м; $0 < z < 2$ м, если ток, про текающий по прямолинейному проводнику вдоль оси z , равен $I = 2,5$ А, $\mu_0 = \mu_0$ (рис. 7.13).

7.18. Найти индуктивность квадратного кабеля единичной длины по данным, указанным на рис. 7.14.

7.19. В свободном пространстве в цилиндрической системе координат вектор \vec{H} имеет одну составляющую $\vec{H} = \frac{2,39 \cdot 10^6}{r} \cos \vec{\varphi}_0$.

Найти магнитный поток через поверхность, ограниченную $-\frac{\pi}{4} \leq \varphi \leq \frac{\pi}{4}$; $0 \leq z \leq 1$ (рис. 7.15).

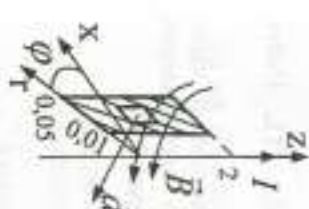


Рис. 7.13

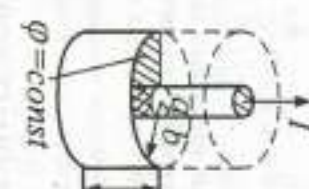


Рис. 7.14

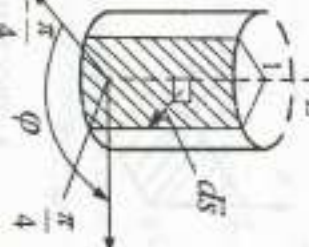


Рис. 7.15

7.20. По двум бесконечно длинным прямым параллельным проводникам, расстояние между которыми $d=15$ см, текут токи $I_1 = 70$ А и $I_2 = 50$ А в одном направлении. Определить магнитную индукцию \vec{B} в точке P , удаленной на $r_1 = 10$ см от первого и на $r_2 = 20$ см от второго проводника (рис. 7.16).



Рис. 7.16

7.21. Магнитная индукция \vec{B} на оси торона без сердечника (внешний диаметр торона $d_1 = 60$ см, внутренний $- d_2 = 40$ см), содержащего $N = 200$ витков, составляет $0,16$ мГл. Пользуясь теоремой о циркуляции вектора \vec{B} , определить силу тока в обмотке торона.

7.22. В однородном магнитном поле с индукцией $B = 0,1$ Гц поместена квадратная рамка площадью $S = 24$ см². Нормаль к плоскости рамки составляет с направлением магнитного поля угол 60° . Определить момент пары сил (противодействия момента), если по рамке протекает ток $I = 1$ А.

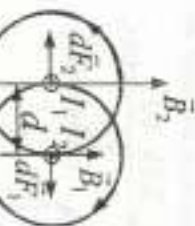


Рис. 7.17

7.23. По двум параллельным прямым проводникам длиной $l = 2$ м, как показано на рисунке, в вакууме на расстоянии $d = 10$ см, в противоположных направлениях текут токи $I_1 = 50$ А и $I_2 = 100$ А (рис. 7.17). Определить силу взаимодействия токов.

7.24. Задано

поле

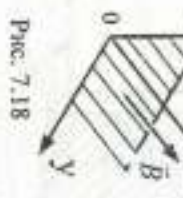


Рис. 7.18

$$\vec{B} = 2.5 \left(\sin \frac{\pi x}{2} \right) e^{-\lambda y} \vec{z}_0 \quad (\text{T}). \quad \text{Найти}$$

полный магнитный поток вектора \vec{B} через поверхность, ограниченную координатами $x = 0; 0 < y < \infty; 0 \leq z \leq 2$ м (рис. 7.18).

с вектором Пойнтинга правую интегральную тройку. Вектор Пойнтинга называется чисто вещественной величиной. Среднее за период значение его величины равно

$$\bar{P}_{\text{ср}} = \frac{1}{2} \operatorname{Re} [\dot{\vec{E}} \vec{H}^*] = \frac{1}{2} H_{\mu}^2 Z_c \vec{z}_0. \quad (8.3)$$

Фазовая скорость и скорость переноса энергии плоской однородной волны совпадают со скоростью света в данной среде

$$|\vec{v}_+| = \frac{\omega}{k} = \frac{c}{\sqrt{\epsilon \mu}}, \quad |\vec{v}| = \frac{P}{w} = \frac{c}{\sqrt{\epsilon \mu}}. \quad (8.4)$$

где w – плотность энергии электрического и магнитного полей, равная

$$w = \frac{\epsilon_0 |E|^2}{2} + \frac{\mu_0 |H|^2}{2}. \quad (8.5)$$

При распространении плоской однородной волны в среде с потерями волновое число k становится комплексной величиной

$$k = \beta - j\alpha,$$

где $\beta = \omega \sqrt{\frac{\epsilon_0 \mu_0}{2} (\sqrt{1 + tg^2 \Delta} + 1)}$ – коэффициент фазы,

$$\alpha = \omega \sqrt{\frac{\epsilon_0 \mu_0}{2} (\sqrt{1 + tg^2 \Delta} - 1)} \quad \text{– коэффициент затухания},$$

$tg \Delta = \frac{\sigma}{\alpha \epsilon_0}$ – тангенс угла электрических потерь;

σ – проводимость среды.

Комплексные амплитуды векторов поля $\hat{\vec{E}}_n$ и $\hat{\vec{H}}_n$ плоской однородной волны в среде с потерями при условии ориентации вектора \vec{H} вдоль оси z лазаровой системы координат могут быть представлены в виде:

$$\left. \begin{aligned} \hat{\vec{E}}_n &= H_n Z_c \sqrt{\cos \Delta} e^{-\alpha z} e^{-j\beta z} e^{j\phi / 2} \vec{x}_0, \\ \hat{\vec{H}}_n &= H_n e^{-\alpha z} e^{-j\beta z} \vec{y}_0. \end{aligned} \right\} \quad (8.6)$$

Поверхности равных фаз и равных амплитуд совпадают, отношение комплексных амплитуд векторов $\hat{\vec{E}}_n$ и $\hat{\vec{H}}_n$ становится величиной

з – координата точки на направлении, вдоль которого распространяется волна.

Векторы поля \vec{E} и \vec{H} перпендикулярны друг к другу и к направлению распространения волны, они колеблются в фазе и образуют

$$\hat{Z}_c = \frac{\hat{E}_n}{\hat{H}_n} = \sqrt{\frac{\mu_0}{\epsilon_0} \cos \Delta e^{j\Delta/2}}, \quad (8.7)$$

что говорит о том, что между векторами \hat{E}_n и \hat{H}_n имеет место сдвиг по фазе, равный по величине $\Delta/2$ и меняющийся в пределах от 0 до $\pi/4$ в зависимости от величины удельной проводимости среды σ . Физика скорости становится меньше скорости света

$$v_4 = \frac{\omega}{\operatorname{Re} k} = \frac{\omega}{\beta} = \frac{1}{\sqrt{\frac{\epsilon_0 \mu_0}{2} (\sqrt{1 + tg^2 \Delta} + 1)}}. \quad (8.8)$$

причем имеет место зависимость фактической скорости от частоты. Такое свойство несет название дисперсии, а среды, обладающие таким свойством, называются диэлектрическими. Вектор Пойнтинга в этом случае оказывается комплексной величиной

$$\hat{T} = \frac{1}{2} [\hat{E} \hat{H}^*] = \frac{1}{2} H_n |\hat{Z}_c| e^{-j\Delta/2} \hat{z}_0. \quad (8.9)$$

Комплексная амплитуда плоской однородной волны, распространяющейся в произвольном направлении \hat{l} (рис. 8.1), может быть представлена в виде:

$$\hat{H}_n = H_n e^{-j\theta} = H_n e^{-j\phi(\cos \varphi_1 + j \sin \varphi_1)} \hat{j}_0, \quad (8.10)$$

где x, y, z – координаты точки наблюдения M .

При падении плоской однородной волны на плоскую границу раздела среды коэффициенты отражения R и проходящей T определяются формулами Френеля. При этом следует различать нормально поляризованную волну – вектор \bar{E} перпендикулярен к плоскости падения (рис. 8.2, а) и параллельно поляризованную волну – вектор \bar{E} параллелен плоскости падения (рис. 8.2, б). Под гибкостью падения понимают плоскость, проходящую через нормаль к

Рис. 8.1

границе раздела и направление распространения волны (вектор Пойнтинга).

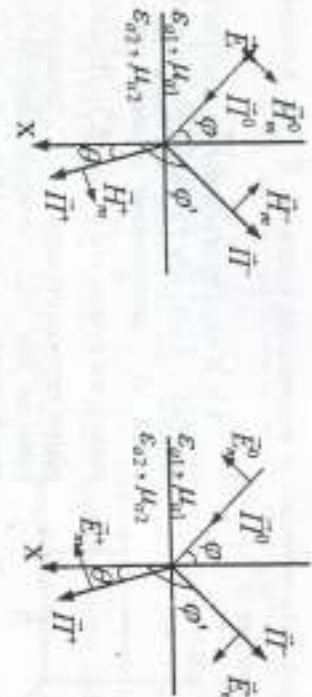


Рис. 8.2

Для нормально поляризованной волны формулы Френеля имеют вид:

$$R_{\perp} = \frac{Z_{e2} \cos \varphi - Z_{e1} \cos \theta}{Z_{e2} \cos \varphi + Z_{e1} \cos \theta}; \quad T_{\perp} = \frac{2 Z_{e2} \cos \varphi}{Z_{e2} \cos \varphi + Z_{e1} \cos \theta}; \quad (8.11)$$

для параллельно поляризованной соответственно:

$$R_{\parallel} = \frac{Z_{e1} \cos \varphi - Z_{e2} \cos \theta}{Z_{e1} \cos \varphi + Z_{e2} \cos \theta}; \quad T_{\parallel} = \frac{2 Z_{e2} \cos \varphi}{Z_{e1} \cos \varphi + Z_{e2} \cos \theta}. \quad (8.12)$$

В приведенных выше формулах φ – угол падения, θ – угол преломления. Связь между ними устанавливается законами Снеллиуса:

- 1) угол падения равен углу отражения $\varphi = \pi - \varphi'$;
- 2) отношение синуса угла преломления к синусу угла падения для диэлектриков без потерь равно отношению показателей преломления сред (для диэлектрических сред без потерь):

$$\frac{\sin \theta}{\sin \varphi} = \frac{n_1}{n_2} = \frac{\sqrt{\epsilon_1}}{\sqrt{\epsilon_2}}. \quad (8.13)$$

Задачи

8.1. Плоская гармоническая линейно поляризованная электромагнитная волна распространяется в неограниченном пространстве в направлении z . Диэлектрическая проницаемость среды $\epsilon_d = \epsilon_0$. Магнитная проницаемость $\mu_d = \mu_0$. Удельная проводимость $\sigma = 0$. Ампера

туда напряженности электрического поля $E_w = 50 \text{ мВ/м}$. Угловая частота $\omega = 10^8 \text{ Гц}$. Составить уравнение волны и определить ее параметры. Определить величину и направление векторов \vec{E} , \vec{H} , плотности тока смещения \vec{S}^{ex} .

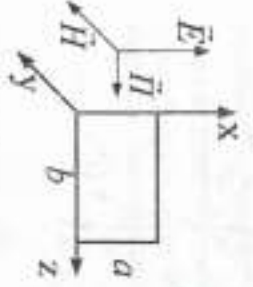


Рис. 8.3

8.2. В поле плоской волны, распространяющейся плоскостью $z=0$ с частотой ω и амплитудой E_0 , расположена плоская рамка с размерами сторон a и b (рис. 8.3). Плоскость рамки перпендикулярна к \vec{H} . Записать выражение для ЭДС, которую выделяет электромагнитная волна в этой рамке.

8.3. Плотность потока мощности электрической поляризованной волны равна 20 Вт/м^2 . Вычислить плотность потока мощности для ортогональных компонент, если отношение осей зеркала поляризации 0,5, а фаза между ортогональными составляющими 90° .

8.4. На пути волны выделен кубический объем со стороной $a = 1 \text{ м}$ (рис. 8.4). Найти заключенную в нем среднюю энергию электромагнитного поля, если амплитуда вектора \vec{E} составляет 1 В/м .

8.5. Плоская электромагнитная волна распространяется в сухой почве с параметрами: удельная проводимость $\sigma = 0,0010 \text{ См/м}$, диэлектрическая относительная проницаемость $\varepsilon = 4$. Определить коэффициент затухания, фазовую скорость и длину волны для частоты $15 \cdot 10^9 \text{ Гц}$. Найти расстояние, на котором амплитуда поля убывает в 100 раз.

8.6. Показать, что записанные выражения не описывают составляющие плоской волны вакуум:

$$\dot{\vec{E}} = 10e^{-j\omega t}\vec{x}_0, \quad \dot{\vec{H}} = 3 \cdot 10^{-2}e^{-j\omega t}\vec{y}_0.$$

8.7. Записать мгновенное значение вектора Пойнтинга плоской волны, распространяющейся в среде с параметрами $\omega = 10^7 \text{ рад/с}$, $\varepsilon_0 = 2\varepsilon_0$, $\mu_0 = \mu_0$, $\sigma = 2 \text{ См/м}$. Определить моменты изменения направления вектора Пойнтинга волны на противоположное.

8.8. Определить параметры среды без потерь, в которой распространяется волна, если $E_w / H_w = 40 \text{ Ом}$, $\lambda = 0,25\lambda_0$, λ_0 — длина волны в вакууме.

8.9. Вычислить коэффициент затухания меди и стекла на частотах $f = 10 \text{ Гц}$, 10^5 Гц , 10^{10} Гц , $\sigma_{\text{меди}} = 5,6 \cdot 10^7 \text{ См/м}$; $\sigma_{\text{стекло}} = 10^{17} \text{ См/м}$.

8.10. Определить, на каком расстоянии от источника плотность потока мощности плоской волны уменьшится в 100 раз. Параметры среды: $\varepsilon_0 = \varepsilon_0$, $\mu_0 = \mu_0$, $\sigma = 10^{-2} \text{ См/м}$. Рабочая частота $f = 10^6 \text{ Гц}$.

8.11. Определить толщину экрана, ослабляющего напряженность поля на 60 дБ. Приводимость материала $\sigma = 10^6 \text{ См/м}$; $\mu_0 = \mu_0$; $f = 10^6 \text{ Гц}$.

8.12. Длина волны, распространяющейся в воздухе, составляет 1 м. Какова длина волны на той же частоте f в меди, свинце? $\sigma = 5,6 \cdot 10^7 \text{ См/м}$; $\sigma_{\text{меди}} = 0,48 \cdot 10^7 \text{ См/м}$.

8.13. Плоская электромагнитная волна распространяется в среде с параметрами $\varepsilon_0 = 16\varepsilon_0$, $\mu_0 = \mu_0$, $\sigma = 10^{-2} \text{ См/м}$. Определить, во сколько раз уменьшится амплитуда поля волны на каждые 10 м проходимого расстояния, $f = 10^4 \text{ Гц}$.

8.14. Определить, на каком расстоянии от начала координат амплитуда напряженности электрического поля уменьшится до 0,01 своего первоначального значения. Параметры среды $\varepsilon = 10$, $\mu = 1$, $f = 10^8 \text{ Гц}$, $\sigma = 10^{-2} \text{ См/м}$, $E_w(0,0,0) = 5 \cdot 10^3 \text{ В/м}$.

8.15. Плоская электромагнитная волна, распространяющаяся в среде с параметрами $\varepsilon_0 = 4\varepsilon_0$, $\mu_0 = \mu_0$, $\sigma = 0$, падает нормально (рис. 8.5) на плоскую границу раздела с излученным проводником. Определить плотность поверхностного тока на граничной плоскости.

Амплитуда падающей волны — E_w .

8.16. Волна, попавшая в среду, имеет форму зигзага (рис. 8.6). Чему равняется отношение волновых сопротивлений сред, если отраженная волна линейно поляризована, а угол падения $\Phi = 30^\circ$? Записать выражение для отраженной волны.

8.17. Плоская параллельно поляризованная волна, распространяющаяся в вакууме, падает под углом $\pi/4$ на плоскую границу раздела с излученным проводником (рис. 8.6). Определить плотность поверхно-

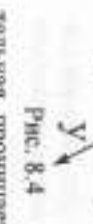


Рис. 8.5

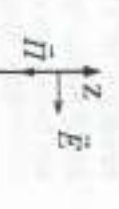


Рис. 8.6

стого тока на граничной плоскости. Амплитуда падающей волны E_n .

8.18. Плоская нормально поляризованная электромагнитная волна, распространяющаяся в среде с параметрами σ_0, μ_0 , падает под углом 45° на плоскую границу раздела с идеальным проводником (рис. 8.7). Определить плотность поверхностного тока на граничной поверхности, если амплитуда падающей волны E_n .

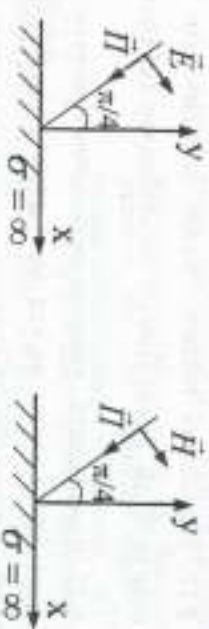


Рис. 8.6

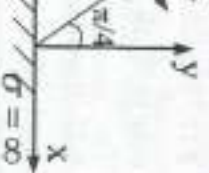


Рис. 8.7

8.19. В свободном пространстве заданы мгновенные значения векторов электромагнитного поля: $\bar{H} = H_0 \cos(\omega t - kx) \bar{x}_0$; $\bar{E} = -120\pi H_0 \cos(\omega t - ky) \bar{y}_0$. Записать выражение для мгновенного значения вектора Пойнтинга и найти его среднее значение за период колебания, если $H_0 = 2 \text{ А/м}$.

8.20. Определить глубину проникновения плоской волны с частотой $f = 10^4 \text{ Гц}$ в серебро ($\sigma = 6,14 \cdot 10^7 \text{ См/м}; \mu_a = \mu_0$). Определить длину волны, фазовую скорость, коэффициент затухания и коэффициент фазы волны.

8.21. Определить, во сколько раз уменьшится амплитуда плоской волны с частотой $f = 2 \cdot 10^6 \text{ Гц}$ при распространении ее в среде с параметрами $\sigma = 10^{-3} \text{ См/м}, \epsilon_a = 2, \mu_a = 1$ на расстояние в 1 м.

8.22. В среде с относительной магнитной проницаемостью $\mu = 1$ найти σ и ω , если в этой среде $\bar{E} = 30\pi \exp\left(j\left(\omega t - \frac{4}{3}y\right)\right) \bar{z}_0 \text{ В/м}; \bar{H} = 1,0 \exp\left(j\left(\omega t - \frac{4}{3}y\right)\right) \bar{z}_0 \text{ А/м}$.

8.23. В свободном пространстве вектор магнитной индукции

$\bar{B} = B_n e^{j(\omega t + k z)} \bar{y}_0$. Используя второе уравнение Максвелла (закон электромагнитной индукции Фардеса), показать, что

$$\bar{E} = -\frac{\omega}{k} B_n e^{j(\omega t + k z)} \bar{x}_0$$

8.24. В неограниченном пространстве с параметрами $\mu = 1, \sigma = 50 \text{ ампер}$ $\bar{E} = 20\pi e^{j(\omega t - k z)} \bar{y}_0$, вектор $\bar{B} = \mu_0 H_n e^{j(\omega t - k z)} \bar{y}_0$. Найти ω и H_n , если длина волны $\lambda = 1,78 \text{ м}$.

8.25. В свободном пространстве задан вектор $\bar{E} = E_n \sin(\omega t - kz) \bar{y}_0$. Используя второе уравнение Максвелла, найти вектор \bar{H} . Изобразить \bar{E} и \bar{H} при $t = 0$.

8.26. В свободном пространстве с проводимостью $\sigma = 0$ известно поле $\bar{H} = H_n e^{j(\omega t + k z)} \bar{x}_0$. Используя первое уравнение Максвелла, найти электрическое поле \bar{E} .

8.27. В свободном пространстве вектор $\bar{D} = D_n \sin(\omega t + kz) \bar{x}_0$. Используя уравнение Максвелла, показать, что вектор магнитной индукции $\bar{B} = -\frac{\omega \mu_0 D_n}{k} \sin(\omega t + kz) \bar{y}_0$.

8.28. В свободном пространстве в направлении оси z распространяется плоская волна с напряженностью $\bar{E}(z, t) = 40 \cos(\omega t - kz) \bar{y}_0 \text{ В/м}$. Найти среднее значение вектора Пойнтинга и его поток через площадку радиусом 3,0 м, перпендикулярную к оси z .

8.29. Найти фазовую скорость, коэффициент распространения, а также глубину проникновения волны в алюминий на частоте $f = 1,6 \text{ МГц}$, если $\mu = 1, \sigma = 38,2 \cdot 10^6 \text{ См/м}$.

8.30. В среде с параметрами $\sigma = 4, \mu = 1, \sigma = 0$ распространяется плоская электромагнитная волна, комплексная амплитуда вектора напряжения электрического поля которой в плоскости $z = 0$ $\bar{E} = 0,5 \bar{x}_0 + 0,2 \bar{y}_0$. Определить комплексную амплитуду вектора напряженности магнитного поля, если $z > 0$.

8.31. Определить постоянную распространения плоской волны,

распространяющейся в среде с параметрами $\varepsilon = 8$, $\mu = 1$, $\sigma = 0,25 \cdot 10^{-12}$ См/м, если частота волны $f = 1,6$ МГц.

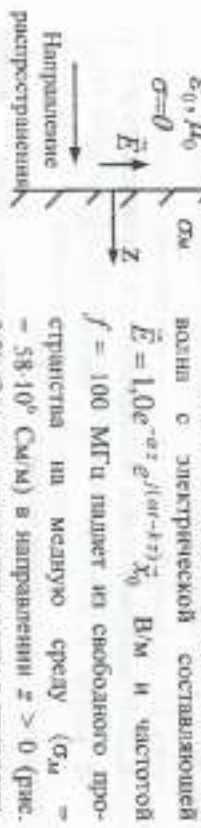


Рис. 8.8

8.32. Плоская электромагнитная волна с электрической составляющей $E = 1.0e^{-r^2} e^{j(\omega t-kz)} \bar{Z}_0$ В/м и частотой $f = 100$ МГц падает на свободного пространства из медную среду ($\sigma_m = 58 \cdot 10^6$ См/м) в направлении $z > 0$ (рис. 8.8). Оценить затухание волны в проводнике (в %) на расстоянии глубины проникновения d и $5d$.

8.33. Определить длину волны λ и фазовую скорость v_ϕ электромагнитной волны, распространяющейся в среде без потерь, если $f = 10$ МГц.

8.34. Вычислить фазовую скорость, коэффициент затухания и глубину проникновения для плоской волны, распространяющейся с частотой 10 МГц в металле с параметрами $\sigma = 5 \cdot 10^7$ См/м, $\mu = 1$, $\varepsilon = 1$.

8.35. В вакууме, распространяющейся в свободном пространстве с фазовой постоянной 30 радиан в направлении оси $(-\bar{Z}_0)$, известно амплитуда вектора $H = \frac{1}{3\pi}$ А/м. Записать выражения для мгновенных значений векторов \bar{E} и \bar{H} , если при $t = 0$ и $z = 0$ вектор \bar{H} направлен по оси $(-\bar{Y}_0)$. Определить частоту и длину волны.

Ответы

Таблица 1. Векторы

- 1.4. $41.9^\circ; 1.6. 4x^2 - y^2 = 15; 1.9. \bar{Z}_0; 1.10. -\frac{x\bar{X}_0 + y\bar{Y}_0 + z\bar{Z}_0}{(x^2 + y^2 + z^2)^{3/2}}$;
- 1.13. $5.4\bar{X}_0 + 7.3\bar{Y}_0 - 4\bar{Z}_0; 1.14. \bar{A}; 1.15. \sqrt{149}; 1.16. \sqrt{165};$
- 1.17. $\sqrt{26}; 1.18. 2x + z; 1.19. 300; 1.20. -e^{-2.5x}; 0; 1.21. 10;$

- 1.22. $-3.5; 1.23. -1 - \sin \varphi; 1.24. 0; 1.25. -8.84 \cdot 10^3; 1.26. 4z; 1.27. 5;$
- 1.28. $-r; 1.29. 24.14; 1.30. 7; 1.31. 3 - 2y; 1.32. -8; 1.33. 5; 1.34. 4;$
- 1.35. $-2.6; 1.36. \frac{10}{r}(2 + \cos \theta); 1.37. 3 + r; 1.38. 1.25;$

$$1.39. 4r \sin \theta + \frac{13\theta}{r} \operatorname{ctg} \theta; 1.40. 20 + r, 0; 1.41. 8e^{-10r} \operatorname{ctg} \theta;$$

$$1.42. \bar{A}\bar{r}/r; 1.44. 36\pi; 1.45. 20\pi; 1.46. 3\pi a^2 h; 1.47. 80/3;$$

$$1.48. 129.4; 1.49. 75\pi; 1.50. 589.1; 1.51. 800\pi; 1.52. 4; 1.54. 4\pi a^3;$$

$$1.55. 2\pi a; 1.56. 0; 1.57. 0; 1.58. 0; 1.59. 3; 1.60. (2yz - x^2)\bar{X}_0 + 2xz\bar{Z}_0;$$

$$1.61. \bar{X}_0 - \bar{Y}_0 - \bar{Z}_0; 1.62. 0; 1.63. 0.5\bar{Z}_0; 1.64. -2.5\bar{Y}_0 - 0.34\bar{Z}_0;$$

$$1.65. 16e^{-10r}(1 - 5r)\bar{Y}_0; 1.66. 5\bar{Y}_0; 1.67. 4.33\bar{Z}_0 - 2.5\bar{Y}_0 + 1.25\bar{Z}_0;$$

$$1.68. -5\bar{Z}_0; 1.70. 0; 1.71. 3; 1.73. 0.368\bar{Z}_0 + 0.23\bar{Z}_0; 1.74. 0.$$

Глава 2. Основные характеристики электромагнитного поля: заряды, электрические поля, векторы

- 2.28. $\frac{\rho h}{2\epsilon_0} \left(-\frac{1}{\sqrt{a^2 + h^2}} + \frac{1}{h} \right) \vec{z}_0; 2.29. 13.5 \left(\frac{\vec{x}_0 + \vec{z}_0}{\sqrt{2}} \right) \text{H};$
 2.30. $0.465 \left(\frac{-3\vec{x}_0 - 7\vec{z}_0}{\sqrt{58}} \right) \text{H}; 2.31. \frac{4\pi\rho b^3}{3\epsilon_0};$
 2.32. $-800\pi, -1600\pi, -1600\pi.$

Глава 3. Системы уравнений Максвелла

- 3.1. $\delta_0/4a^2; 3.3. \mathcal{E} = -\mu_0 H_0 \omega \cos \alpha \cdot \alpha^2;$
 3.5. $\mathcal{E} = -\mu_0 H_0 v \sin \alpha; 3.6. \bar{H} = (I/2\pi) \bar{\lambda} \rho;$
 3.7. $\delta_{\alpha} = \frac{\epsilon_0 M^2}{(d_0 - vr)^2}; I = \frac{\epsilon_0 M v S}{(d_0 - vr)^2}; 3.8. I = \frac{\epsilon_0}{\sigma} \ln 2;$
 3.9. $\mathcal{E} = N \mu_0 H_0 \sin \alpha \omega \cdot \omega; 3.10. \rho = 3k \text{ при } 0 \leq r \leq a;$
 $\rho = 0 \text{ при } a < r \leq \infty; 3.11. \rho = \epsilon_0 k (2x + 3y^2); 3.12. \bar{E} = -\vec{z}_0;$
 3.13. $k = \omega \sqrt{\epsilon_0 \mu_0}; \frac{E_0}{H_0} = \sqrt{\frac{\mu_0}{\epsilon_0}}; 3.14. \Delta \phi = 1.5 \cdot 10^{-4} \text{ В};$

- 3.15. $f = 11.4 \cdot 10^4 \text{ Гц}; 3.16. \mathcal{E} = -\frac{\mu_0 I \alpha v}{2\pi} \left[\frac{1}{r_0 + vr + b} - \frac{1}{r_0 + vr} \right] N;$
 3.19. $\mathcal{E} = \frac{5\mu_0 I_0 b \sin \alpha \omega \cdot \omega}{\pi} \ln \frac{r+a}{r}; 3.20. \mathcal{E} = \frac{B \omega d^2}{2};$
 3.22. $I_{\text{ex}} = 0.1 \cdot 10^4 \text{ А}; 3.23. I = 8\pi \text{ А}; 3.24. \vec{\delta} = \frac{I}{\pi d^2} \vec{z}_0 \text{ при } r \leq a;$

- $\vec{\delta} = 0 \text{ при } r > a; 3.25. E_r = 0.0002 \text{ В/м}; 3.26. I_{\text{max}} = 39.5 \cdot 10^6 \text{ А};$
 $i = I_{\text{max}} \sin \alpha t; 3.27. \mathcal{E} = 21.3 \cdot 10^6 \text{ В}; 3.28. \rho = -e^{-0.5r} \text{ при } 0 < r \leq 2;$
 $\rho = 0 \text{ при } r > 2; 3.29. \mathcal{E} = -0.02 \sin 10^3 t \text{ В}; 3.30. \rho = 40e^{-2r};$
 $3.31. \delta = 12.50 \sin 10^6 t \text{ А/м}^2; \delta_{\text{ex}} = 22.1 \cos 10^6 t \text{ А/м}^2; f = 89.9 \cdot 10^6 \text{ Гц}.$

- 4.2. $y = cx; 4.3. B_1 = B_2 \sqrt{\sin^2 \alpha_1 (\mu_{a1}/\mu_{a2})^2 + \cos^2 \alpha_2};$
 $\alpha_1 = \arctg [(\mu_{a1}/\mu_{a2}) \lg \alpha_2]; 4.7. \rho_3 = \epsilon_0 A; 4.10. \epsilon_{a2} = \epsilon_0 \sin^2 \varphi_1;$
 4.11. $I = 0.6 \text{ А}; 4.16. H_r = 0.25 \cdot 10^{-6} \text{ А/м};$
 4.17. $\bar{D}_1 = \epsilon_0 (10\vec{x}_0 - 15\vec{y}_0 + 10\vec{z}_0); \alpha_1 = 54.2^\circ; \alpha_2 = 29^\circ;$
 4.18. $H_2 = 7.12 \text{ А/м}; \alpha_2 = 70.3^\circ; 4.19. \bar{E}_2 = -3\vec{x}_0 + 4\vec{y}_0 - 6\vec{z}_0;$
 4.20. $\mu_2 = 5.57; \bar{H}_2 = (1/\mu_0)(0.2\vec{x}_0 + 0.5\vec{y}_0 + 0.54\vec{z}_0);$
 4.21. $\bar{H}_1 = 5.5\vec{x}_0 + 6\vec{z}_0; 4.22. \bar{\delta}_1 = (1/\mu_0)(3.72\vec{y}_0 - 9.28\vec{z}_0);$
 4.23. $\bar{E}_1 = (1/\epsilon_0)(1.25\vec{x}_0 - 4\vec{y}_0 + 6\vec{z}_0); \theta_1 = 22.6^\circ; \theta_2 = 9.83^\circ;$
 4.24. $\theta_2 = 8.13^\circ; 4.25. \bar{E}_2 = -3\vec{x}_0 + 4\vec{y}_0 - 0.5\vec{z}_0;$
 4.26. $\bar{D}_2 = 5\epsilon_0 (2\vec{x}_0 - 3\vec{y}_0 + 2\vec{z}_0); \theta_1 = 54.2^\circ; \theta_2 = 29^\circ;$
 4.27. $\bar{H}_2 = (1/\mu_0)(8\vec{x}_0 + 5.3\vec{y}_0 + 40\vec{z}_0) \cdot 10^{-2}; \alpha_1 = 74.5^\circ; \alpha_2 = 13.5^\circ;$
 4.28. $\varphi_2 = \arctg [\epsilon_2/\epsilon_1] \lg \varphi].$

Глава 5. Теорема Пойнтинга

- 5.4. $r = 2 \text{ м}; 5.5. \omega^* = \mu_0 \delta^2 \alpha^2 / 32; 5.17. \bar{H} = -3\vec{x}_0 + 2\vec{z}_0;$
 5.18. $\Pi = 9.95 \cdot 10^6 \text{ Вт/м}^2;$
 5.19. $\dot{\bar{H}} = -2.73 \cdot 10^{-3} e^{0.5} \vec{x}_0 - 1.785 \cdot 10^{-3} e^{0.3} \vec{y}_0;$
 $\dot{\bar{H}}_{\text{ap}} = -2.397 \cdot 10^{-3} \vec{x}_0 + 0.405 \cdot 10^{-3} \vec{y}_0; 5.23. E = 1940 \text{ В/м};$
 $H = 5.15 \text{ А/м}.$

Глава 6. Электростатическое поле

- 6.3. $r = 9 \cdot 10^9 \text{ м}; 6.4. \bar{E}_1 = \rho_0 r^2 \vec{r}_0 / 4a\epsilon_0; \bar{D}_1 = \rho_0 r^2 \vec{r}_0 / 4a;$
 $\bar{E}_2 = \rho_0 a^3 \vec{r}_0 / 4r^2 \epsilon_0; \bar{D}_2 = \rho_0 a^3 \vec{r}_0 / 4r^2;$

$$6.6. C = \frac{2\pi}{\frac{1}{\ln \frac{r_2}{r_1}} + \frac{1}{\ln \frac{r_1}{r_2}}}; \quad 6.7. \varphi = \frac{q}{4\pi\varepsilon_0 \sqrt{a^2 + z^2}};$$

$$\frac{\varepsilon_{a1}}{r_1} \frac{r_2}{\varepsilon_{a2}} + \frac{\varepsilon_{a2}}{r_2} \frac{r_1}{\varepsilon_{a1}}; \quad 6.8. E = \frac{q}{2\pi r^2 \varepsilon_0} \left[1 - \frac{z}{\sqrt{a^2 + z^2}} \right];$$

$$\bar{E} = \frac{qz\bar{z}_0}{4\pi\varepsilon_0 (a^2 + z^2)^{3/2}}; \quad 6.8. E = \frac{q}{2\pi r^2 \varepsilon_0} \left[1 - \frac{z}{\sqrt{a^2 + z^2}} \right];$$

$$\varphi = \frac{q}{2\pi r^2 \varepsilon_0} \left[\sqrt{a^2 + z^2} - z \right]$$

$$6.12. \varphi = \frac{r}{4\pi\varepsilon_0} \ln \frac{\sqrt{d^2 + (l-b)^2} + (l-b)}{\sqrt{d^2 + b^2} - b}; \quad 6.13. \rho_s = -\frac{qh}{2\pi r^3};$$

$$6.15. W = 27 \text{ Дж}; \quad 6.16. \rho = -\frac{qe^{-r/a}}{ra^2} \varepsilon_0; \quad 6.17. W = \frac{q^2}{8\pi} \left[\frac{1}{5\varepsilon_0} + \frac{1}{\varepsilon_0} \right];$$

$$6.19. \varphi = 35.6 \text{ В}; \quad 6.20. \varphi_1 = 49.7 \text{ В}; \quad \varphi_2 = 60 \text{ В}; \quad 6.21. W = 147 \cdot 10^{12} \text{ Дж};$$

$$6.22. W = 0.224 \text{ Дж}; \quad 6.23. E_i = \frac{\rho r}{3\varepsilon_0}; \quad \varphi_1 = -\frac{\rho r^2}{6\varepsilon_0} + \text{const};$$

$$E_1 = \frac{q}{4\pi\varepsilon_0 r^2}; \quad \varphi_1 = \frac{q}{4\pi\varepsilon_0 r} + \text{const}; \quad 6.25. \varphi_1 - \varphi_2 = \frac{r}{2\pi\varepsilon_0} \ln \frac{r_1}{r_2};$$

$$6.26. W = 2\pi\varepsilon_0 \varphi_0^2 a; \quad Q = 4\pi\varepsilon_0 \varphi_0 a; \quad 6.27. \bar{E} = \frac{\rho_1}{2\varepsilon_0} \bar{z}_0;$$

$$6.28. \bar{D} = \frac{798 \cdot 10^{-12}}{r} \bar{r}_0 \text{ Кн/м}^2; \quad 6.29. \varphi = 100 \text{ В};$$

$$6.30. \varphi = 50.1 \ln r + 345.9 \text{ В}; \quad \bar{E} = \frac{50.1}{r} (-\bar{r}_0) \text{ В/м}; \quad 6.31. \varphi = 200 \text{ В};$$

$$\rho_s = 266.10^9 \text{ Кн/м}^2; \quad 6.32. \varphi = -250 \text{ В}; \quad 6.33. \bar{E} = -10.53 \bar{r}_0 / r^2 \text{ В/м};$$

$$\bar{D} = -9.32 \cdot 10^{11} \bar{r}_0 / r^3; \quad 6.34. \bar{D} = \frac{2.5}{r} \left[\frac{1}{2} - e^{-1/r} \left(r^2 + r + \frac{1}{2} \right) \right] \bar{r}_0 \text{ Кн/м}^2;$$

$$6.35. \varphi_2 - \varphi_1 = 125.5 \text{ В}; \quad 6.36. \varphi = -(\rho r^2 / 4\varepsilon_0) + A \ln r + B;$$

$$6.37. \bar{E} = -3.71 \bar{r}_0 / r^2 \text{ В/м}; \quad \bar{D} = -0.103 \bar{r}_0 / r^2 \text{ нКн/м}^2;$$

$$6.38. A = -0.392 \text{ Дж}; \quad 6.39. W = 10^8 (36 \cdot \pi) \text{ Дж}; \quad 6.40. W = 1.51 \cdot 10^9 \text{ Дж};$$

$$6.43. \varphi_A - \varphi_B = 8.25 \text{ В}; \quad 6.44. \varphi_A - \varphi_B = -4 \text{ В}; \quad \varphi_A = -8 \text{ В};$$

$$\varphi_{\text{Бок}} = -4 \text{ В}; \quad 6.45. E = \frac{1}{4\pi\varepsilon_0} \sqrt{\frac{Q_1^2}{r_1^4} + \frac{2|Q_1||Q_2|}{r_1^2 r_2^2} \cos\alpha + \frac{Q_2^2}{r_2^4}};$$

$$\varphi = \frac{1}{4\pi\varepsilon_0} \left(\frac{Q_1}{r_1} + \frac{Q_2}{r_2} \right).$$

Глава 7. Стационарное магнитное поле

$$7.1. \bar{H} = \frac{Ia^2 \bar{z}_0}{2(a^2 + z^2)^{3/2}}; \quad 7.3. \text{a}) M_{12} = \frac{\mu_0 \sigma r^2}{2r_1}; \quad 7.7. W = \frac{\mu_0 f^2}{16\pi};$$

$$7.13. M_{21} = \frac{\mu_0 g \alpha}{\pi} \left(a - b \ln \frac{a+b}{b} \right); \quad 7.16. \Phi = 6.44 \text{ Вб};$$

$$7.17. \Phi = 1.61 \cdot 10^{-6} \text{ Вб}; \quad 7.19. \Phi = 4.24 \text{ Вб}; \quad 7.20. B = 178 \cdot 10^4 \text{ Тн};$$

$$7.22. M = 207.6 \cdot 10^6 \text{ Нм}; \quad 7.23. F = 20 \cdot 10^3 \text{ Н}; \quad 7.24. \Phi = 1.59 \text{ Вб}.$$

Глава 8. Плоские электромагнитные волны

$$8.2. \mathcal{E} = E_0 [\cos(\omega t - kb) - \cos \omega t]; \quad 8.3. H_1 = 4 \text{ Вт/м}^2;$$

$$H_2 = 16 \text{ Вт/м}^2; \quad 8.8. \varepsilon_0 = \frac{1}{10c} \Phi \text{ н/м}; \quad \mu_0 = \frac{160}{c} \Gamma \text{ н/м}; \quad 8.10. z = 11.5 \text{ м};$$

$$8.19. \bar{H} = 120\pi H_0^2 \cos^2(\omega t - kx) \bar{y}_0; \quad \bar{H}_\sigma = \frac{1}{2} H_0^2 z_\sigma \bar{y}_0;$$

$$8.20. d = 204 \cdot 10^{-6} \text{ м}; \quad \lambda = 1.28 \cdot 10^{-3} \text{ м}; \quad v_\Phi = 128 \text{ м/с}; \quad \alpha = \beta = 49 \cdot 10^2 \text{ 1/м};$$

$$8.21. 1.085 \text{ пасн}; \quad 8.25. \bar{H} = -\frac{E_\sigma}{2} \sin(\omega t - kz) \bar{x}_\sigma;$$

$$8.28. \bar{H}_\sigma = \frac{20}{3\pi} \bar{z}_0 \text{ Вт/м}^2; \quad \int \bar{H}_\sigma d\bar{x} = 60 \text{ Вт}; \quad 8.29. v_\Phi = 647 \text{ м/с};$$

$$k = 2.2 \cdot 10^4 e^{143} \text{ 1/м}; \quad d = 64.4 \cdot 10^{-6} \text{ м};$$

- 8.30. $\hat{H} = (-1,061\vec{x}_0 + 2,65\vec{y}_0) \cdot 10^{-3}$ А/м; 8.31. $k = j/9,48 \cdot 10^{-3}$ 1/m;
- 8.32. 36,8 %; 0,67 %; 8.33. $\lambda = 3$ м; $v_\Phi = 3 \cdot 10^7$ м/с;
 $8,34. v_\Phi = 1,414 \cdot 10^3$ м/с; $a = 44,43 \cdot 10^3$ 1/м; $d = 22,5 \cdot 10^6$ м;
- 8.35. $f = 1,43$ ГГц; $\lambda = \pi/15$ м.

БИБЛИОГРАФИЧЕСКИЙ СПИСОК

1. Пименов Ю.В., Волман В.Н., Муравьев А.Д. Техническая электродинамика. — М.: Радио и связь, 2000. — 536 с.
2. Семенов Н.А. Техническая электродинамика. — М.: Спбзб, 1973. — 480 с.
3. Выгодский М.Я. Справочник по высшей математике. — М.: Издательство физико-математической литературы, 1958. — 783 с.

ОГЛАВЛЕНИЕ

Принятые обозначения	1
1. Векторы	3
2. Основные характеристики электромагнитного поля; заряды, электрические токи, векторы	14
3. Система уравнений Максвелла	22
4. Границные условия	29
5. Теорема Пойнгтига	36
6. Электростатическое поле	40
7. Стационарное магнитное поле	49
8. Плоские электромагнитные волны	54
Ответы	62